

## APPENDICE C: Prova bending senza danneggiamento

Si riportano gli spettri ad intervalli di 1.000.000 di cicli fino alla conclusione della prova a 10.000.000 di cicli, tenendo conto che la rilevazione con è stata attivata dai 3.000.000 di cicli.

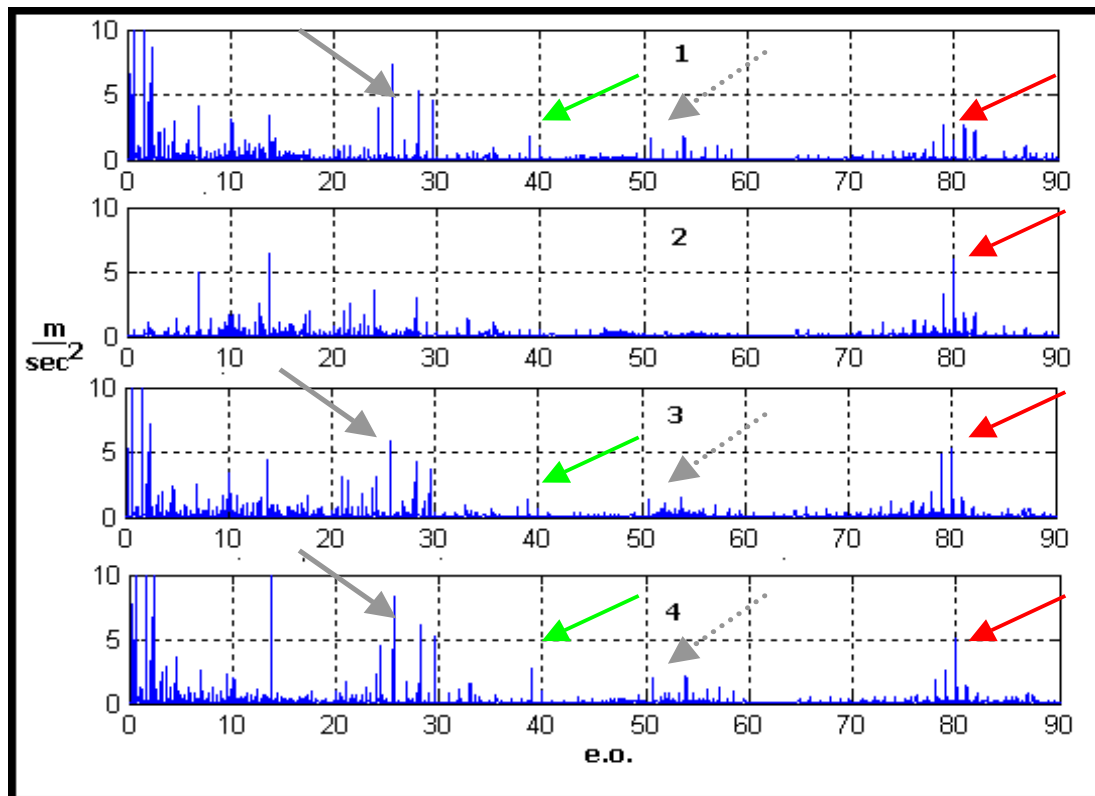


Figura C- 1: 0 cicli- 0-90-FFT

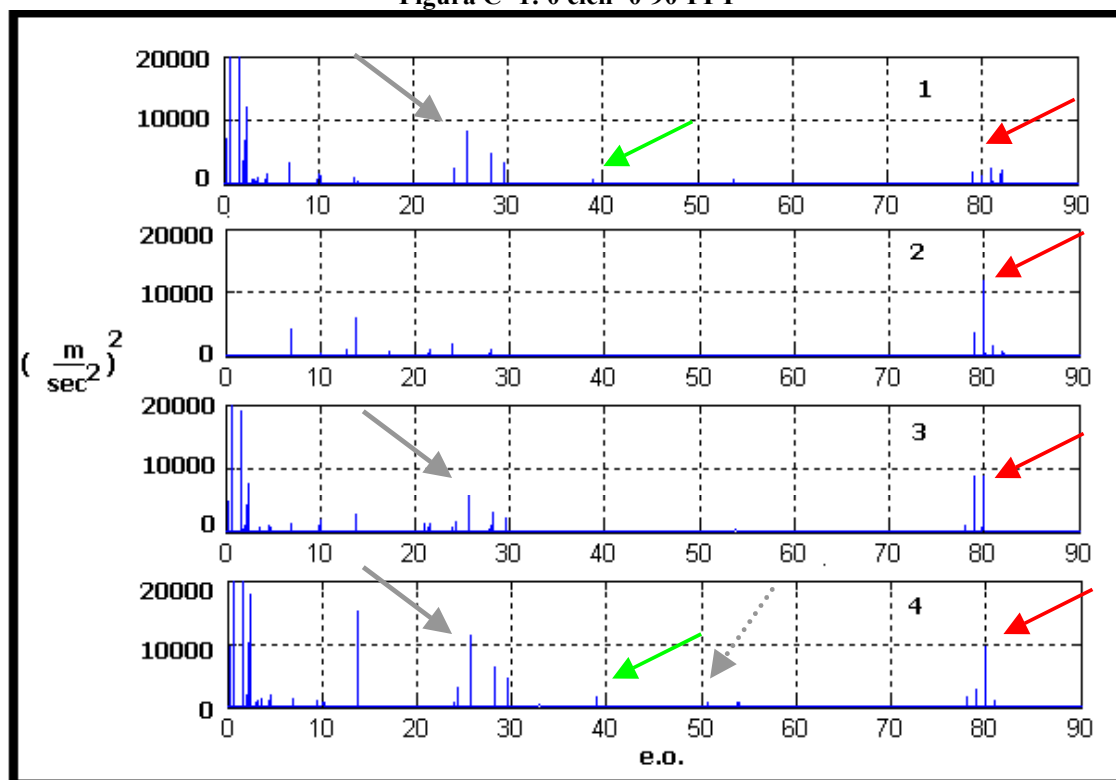


Figura C- 2: 0 cicli- 0-90-PSD

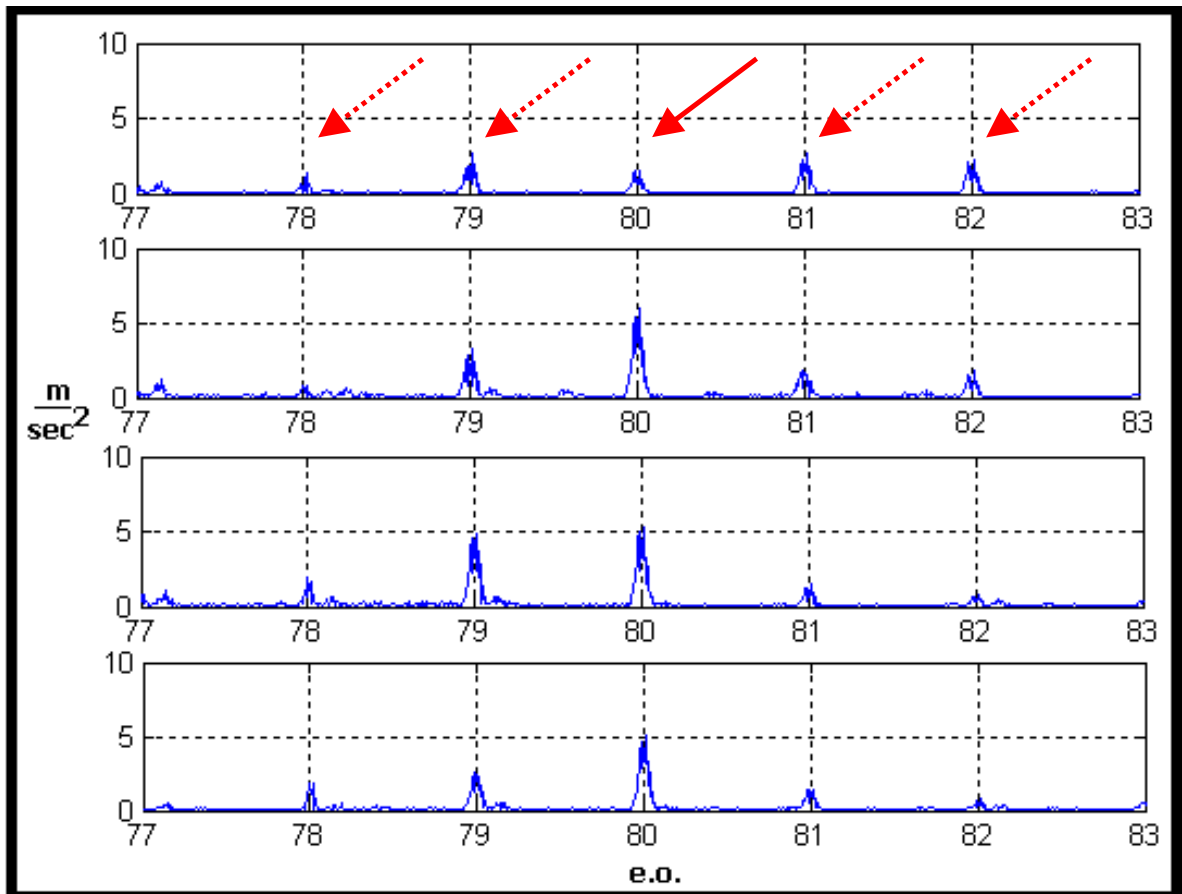


Figura C- 3: 0 cicli- 77-83-FFT

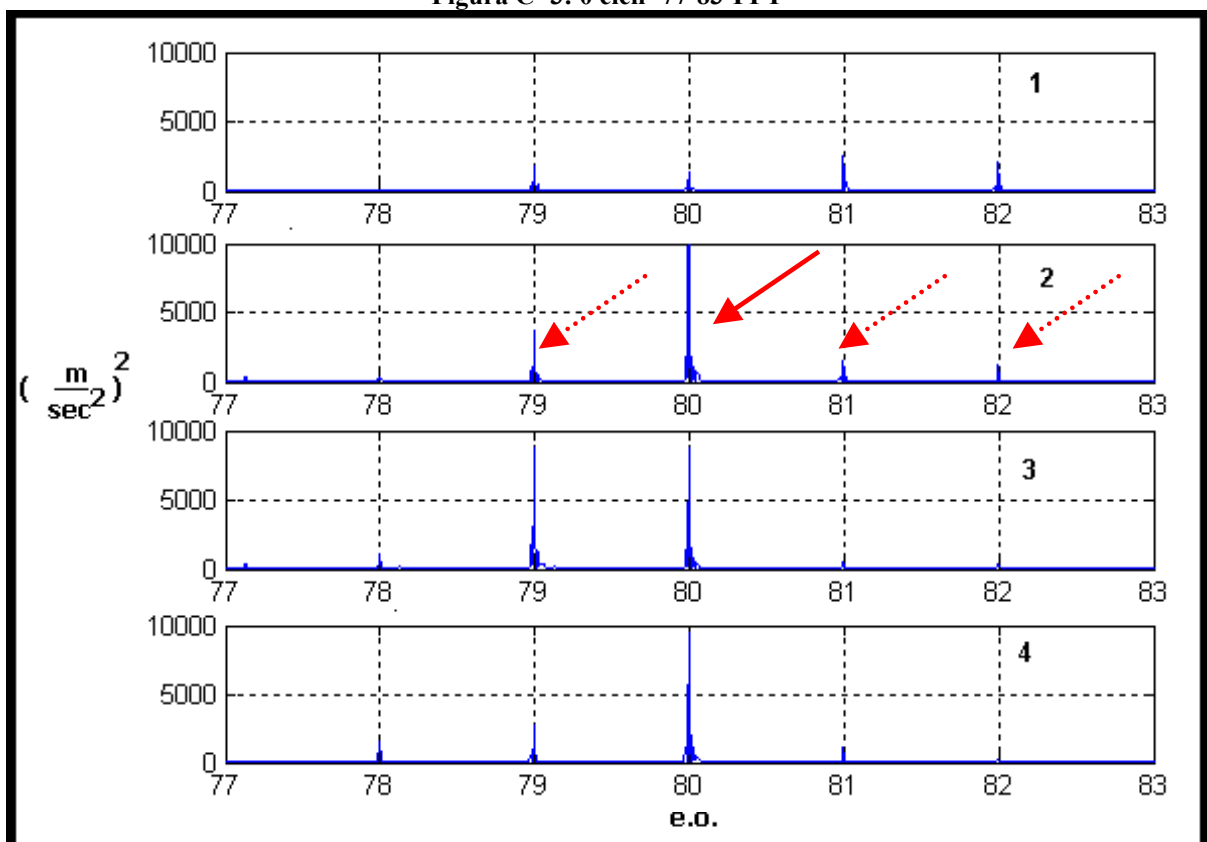


Figura C- 4: 0 cicli- 77-83-PSD

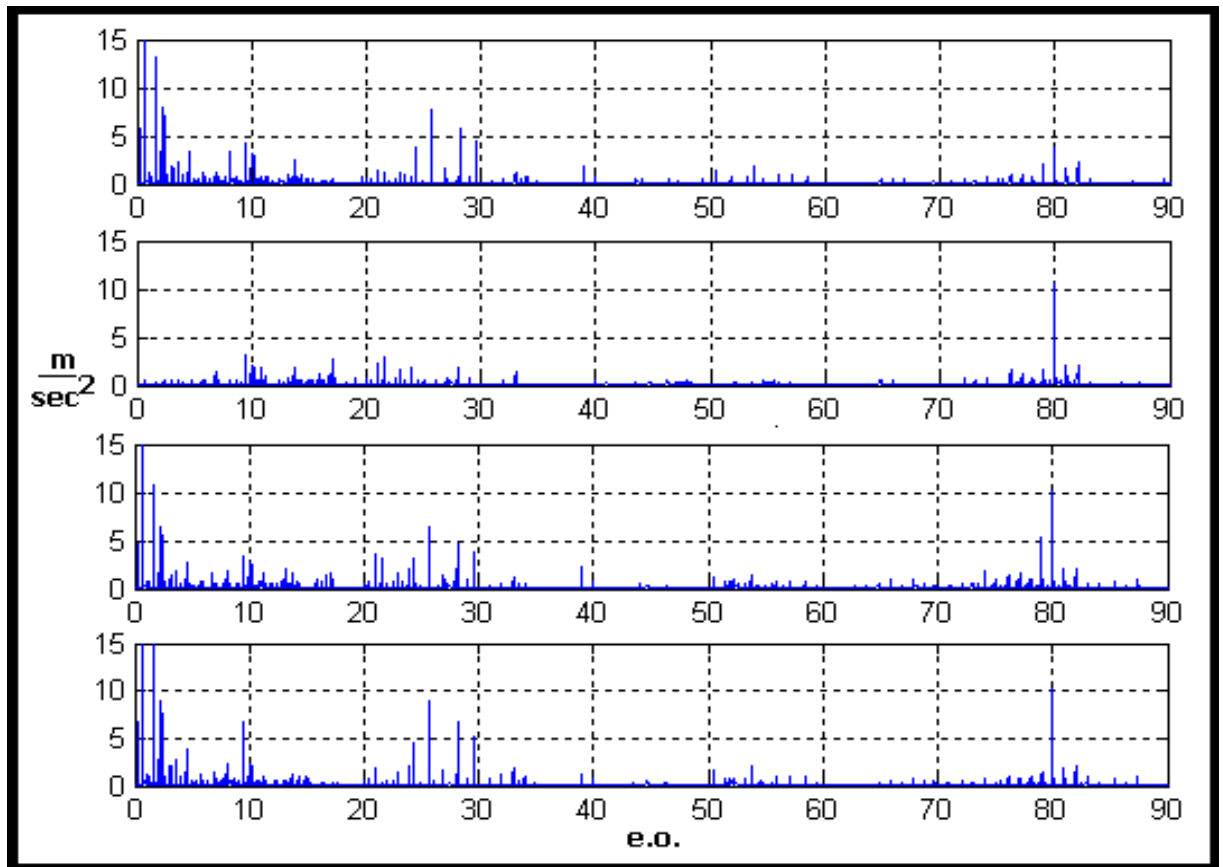


Figura C- 5: 1.000.000 cicli- 0-90-FFT

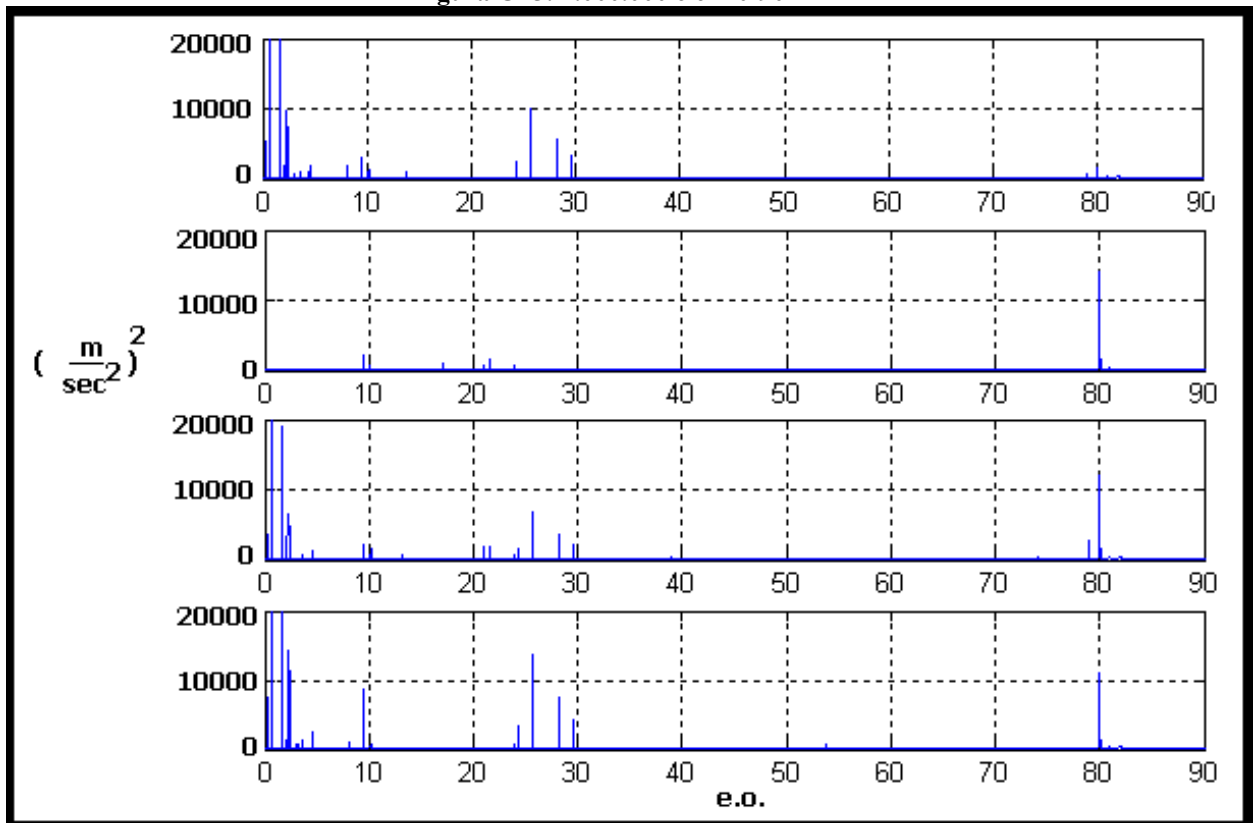


Figura C- 6: 1.000.000 cicli- 0-90-PSD

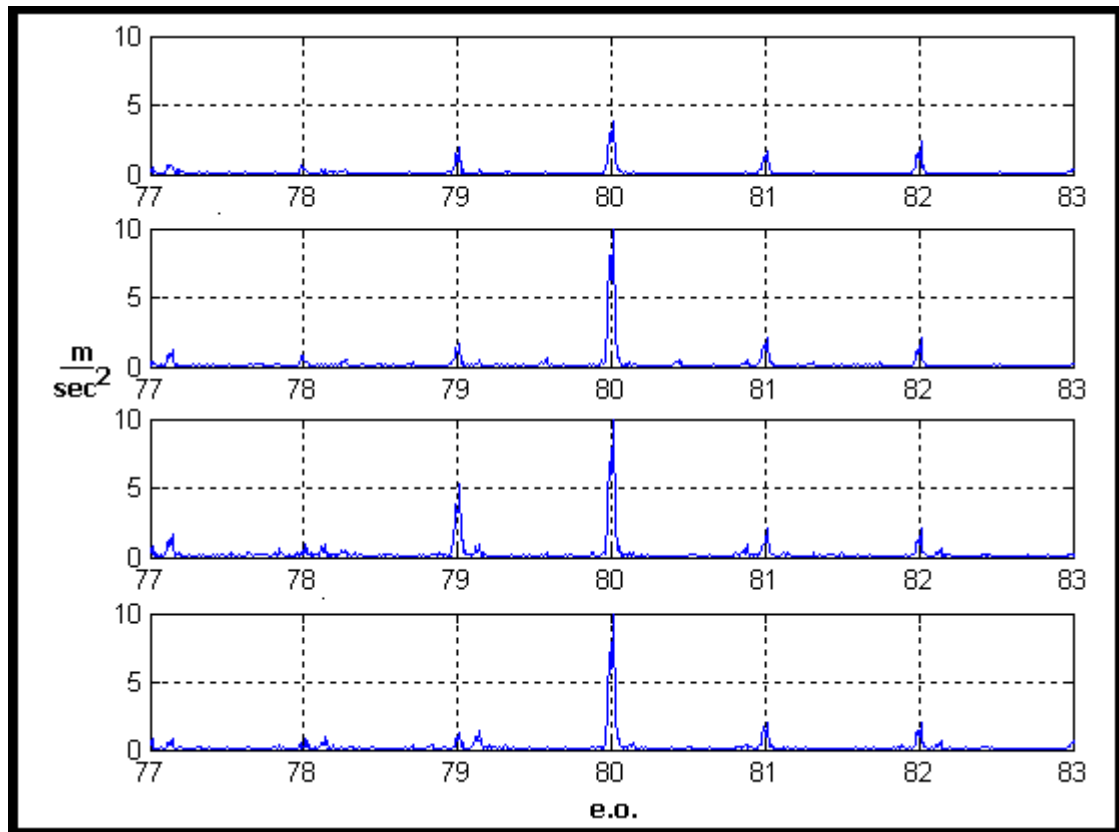


Figura C- 7: 1.000.000 cicli-77-83-FFT

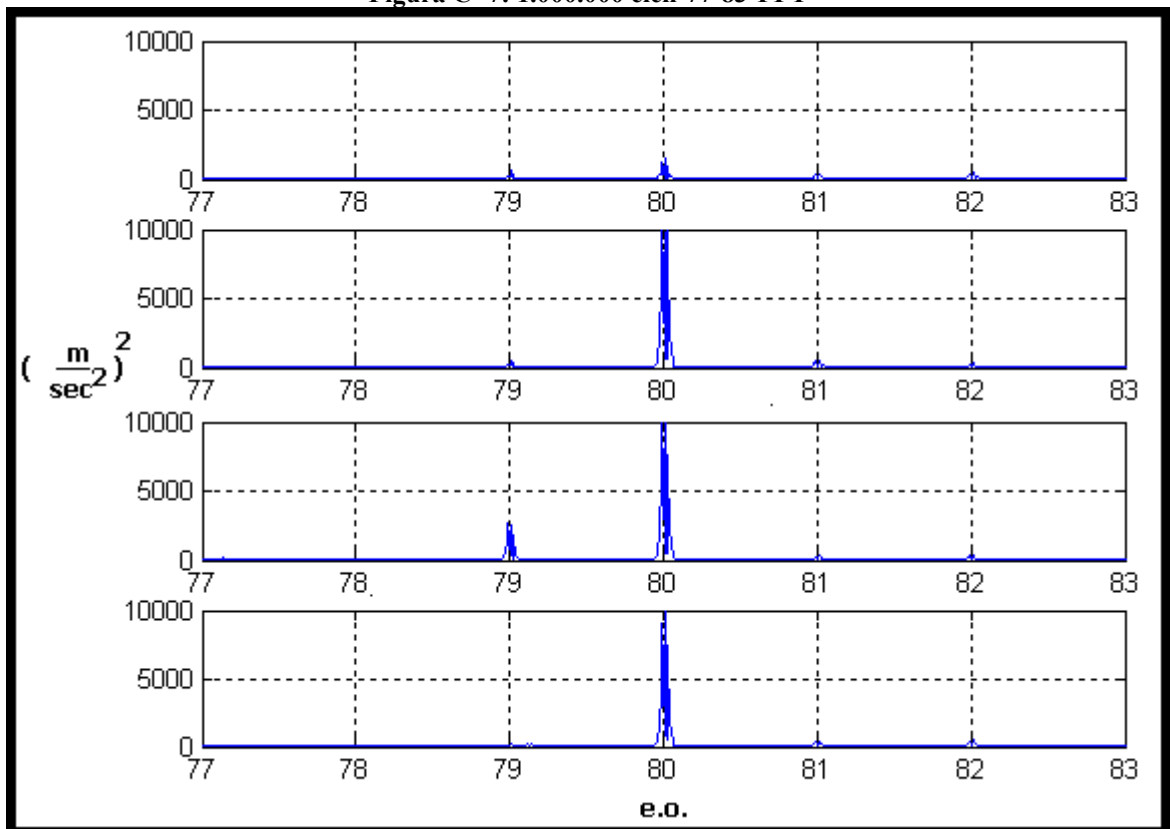


Figura C- 8: 1.000.000 cicli-77-83-PSD

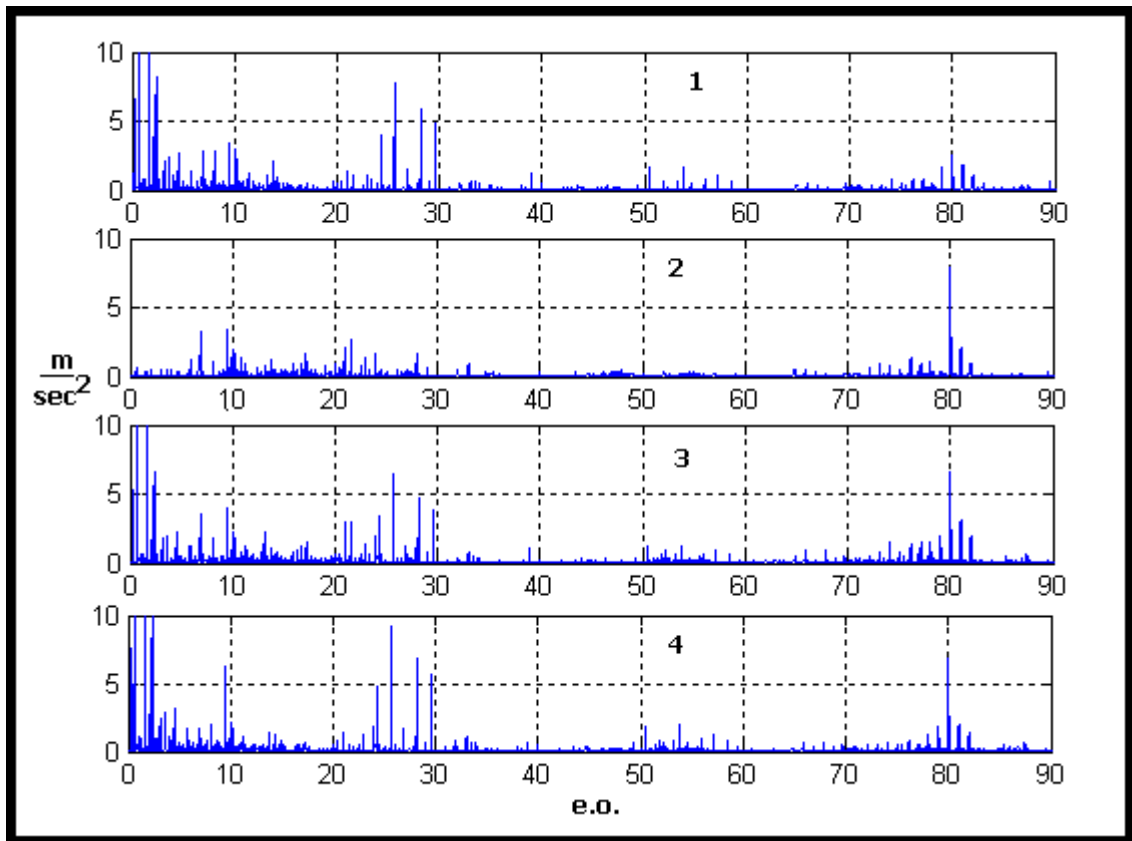


Figura C- 9: 2.000.000 cicli- 0-90- FFT

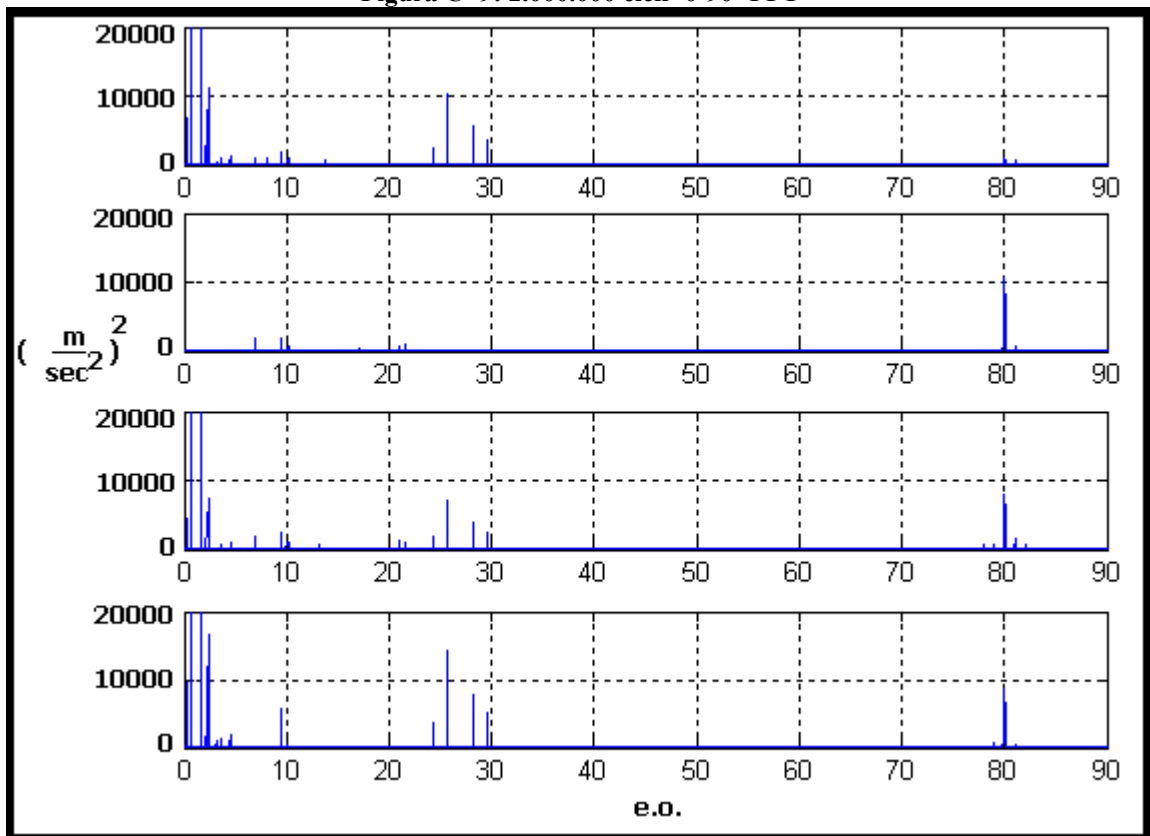


Figura C- 10: 2.000.000 cicli- 0-90-PSD

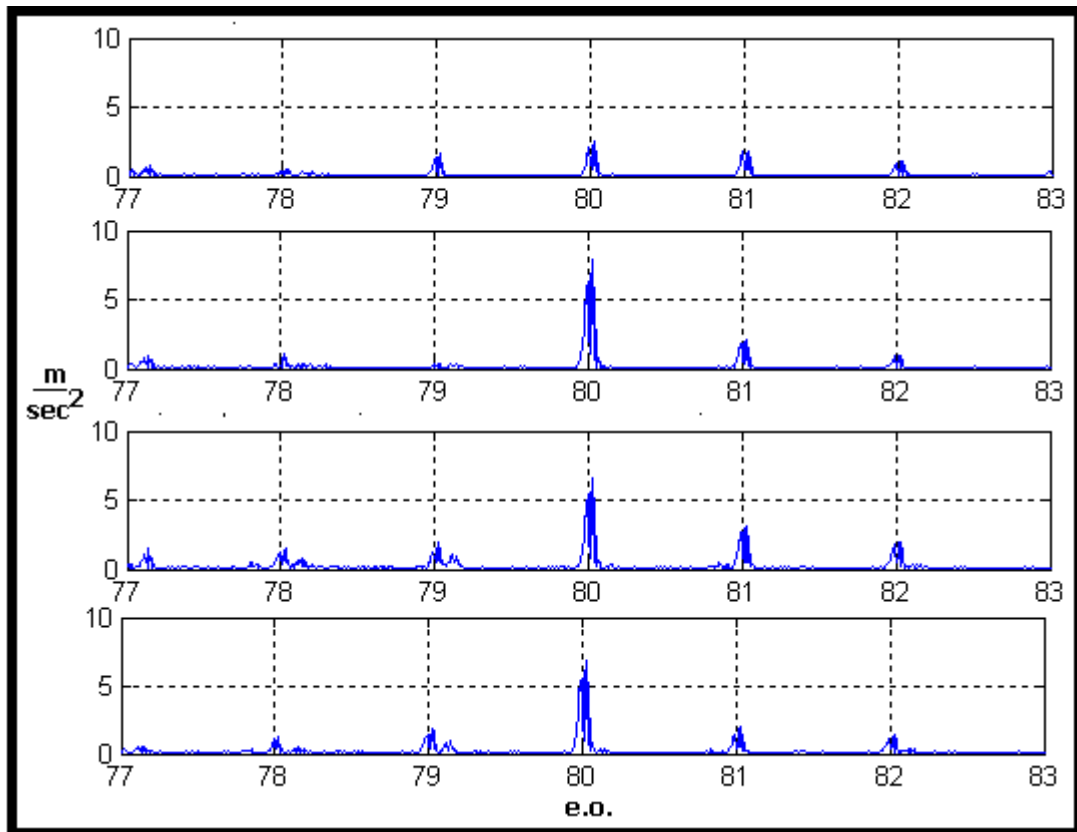


Figura C- 11: 2.000.000 cicli- 77-83-FFT

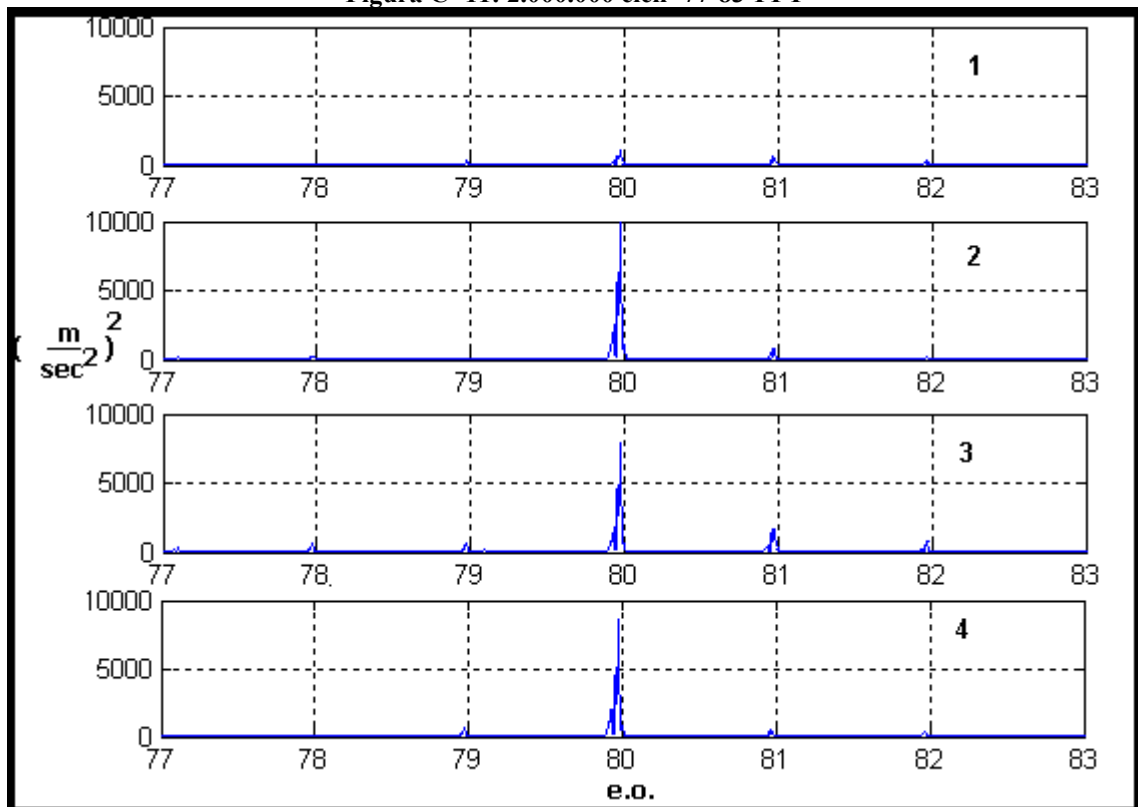


Figura C- 12: 2.000.000 cicli- 77-83-PSD

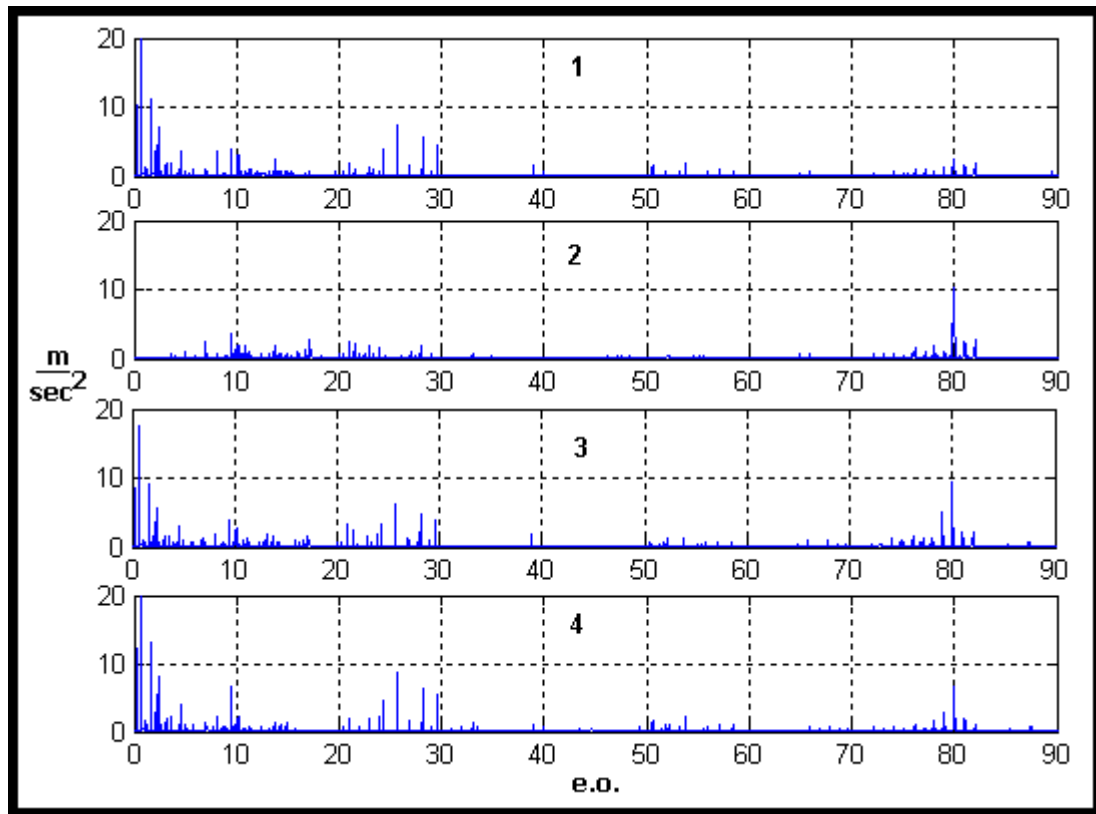


Figura C- 13: 3.000.000 cicli- 0-90-FFT

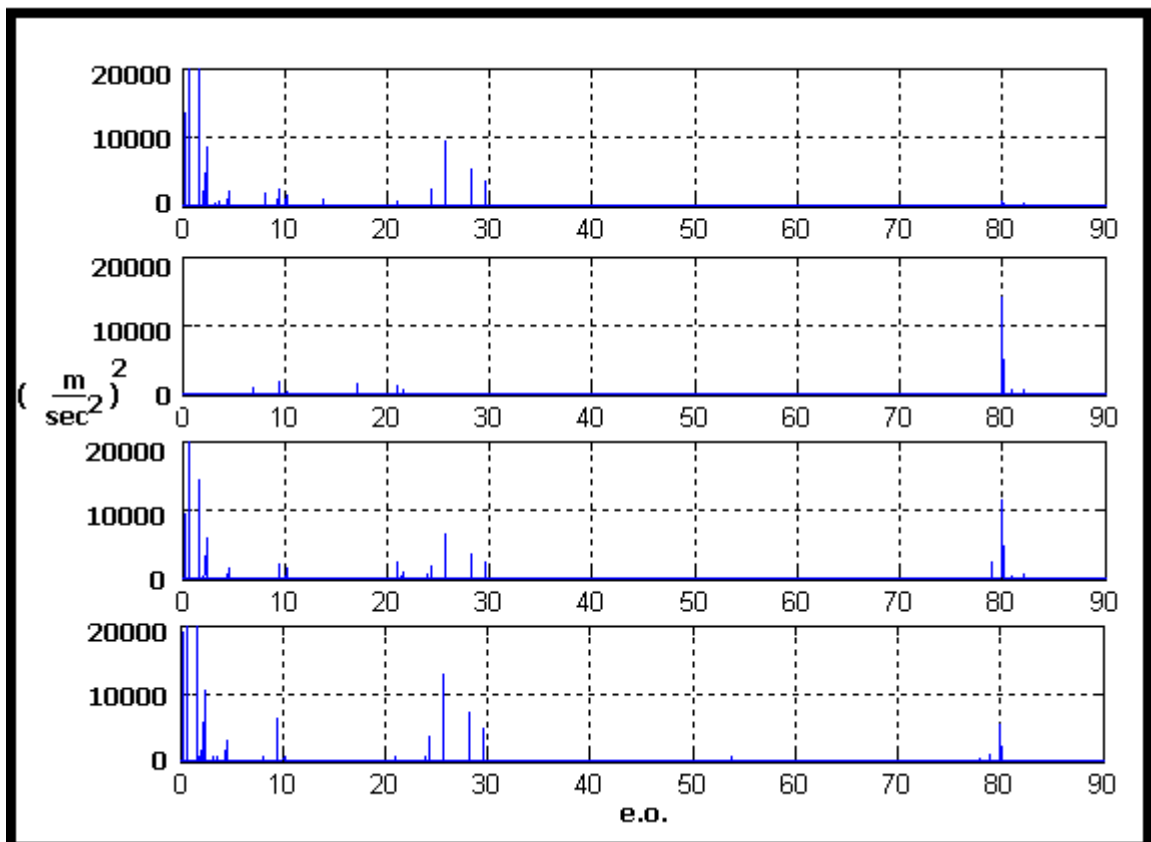


Figura C- 14: 3.000.000 cicli- 0-90-PSD

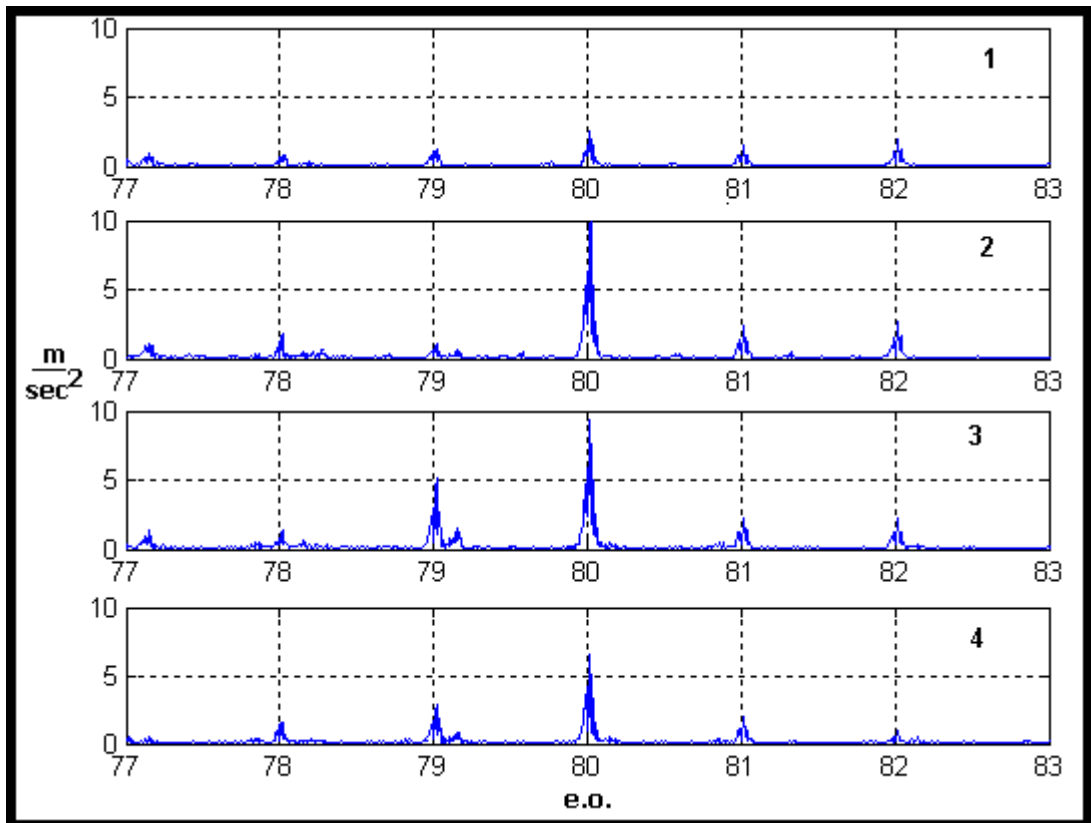


Figura C- 15: 3.000.000 cicli- 77-83-FFT

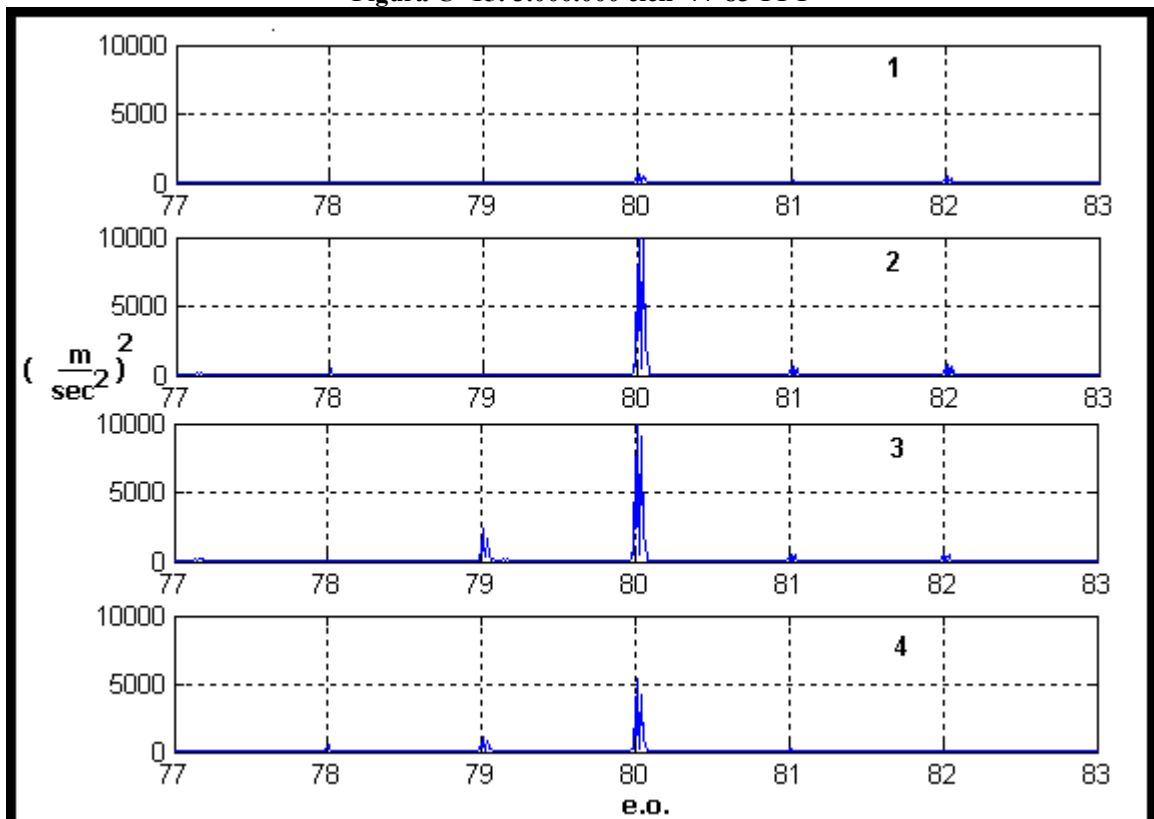


Figura C- 16: 3.000.000 cicli- 77-83-PSD



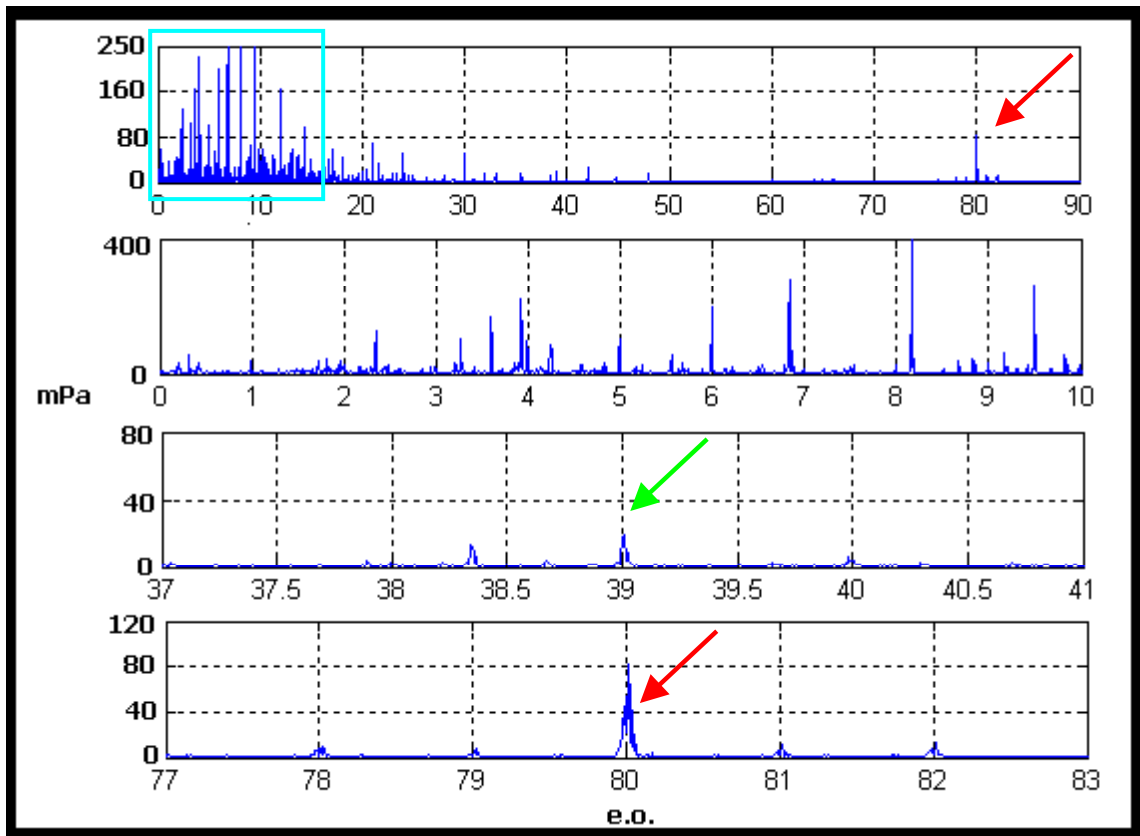


Figura C- 17: 3.000.000 cicli- microfono-FFT

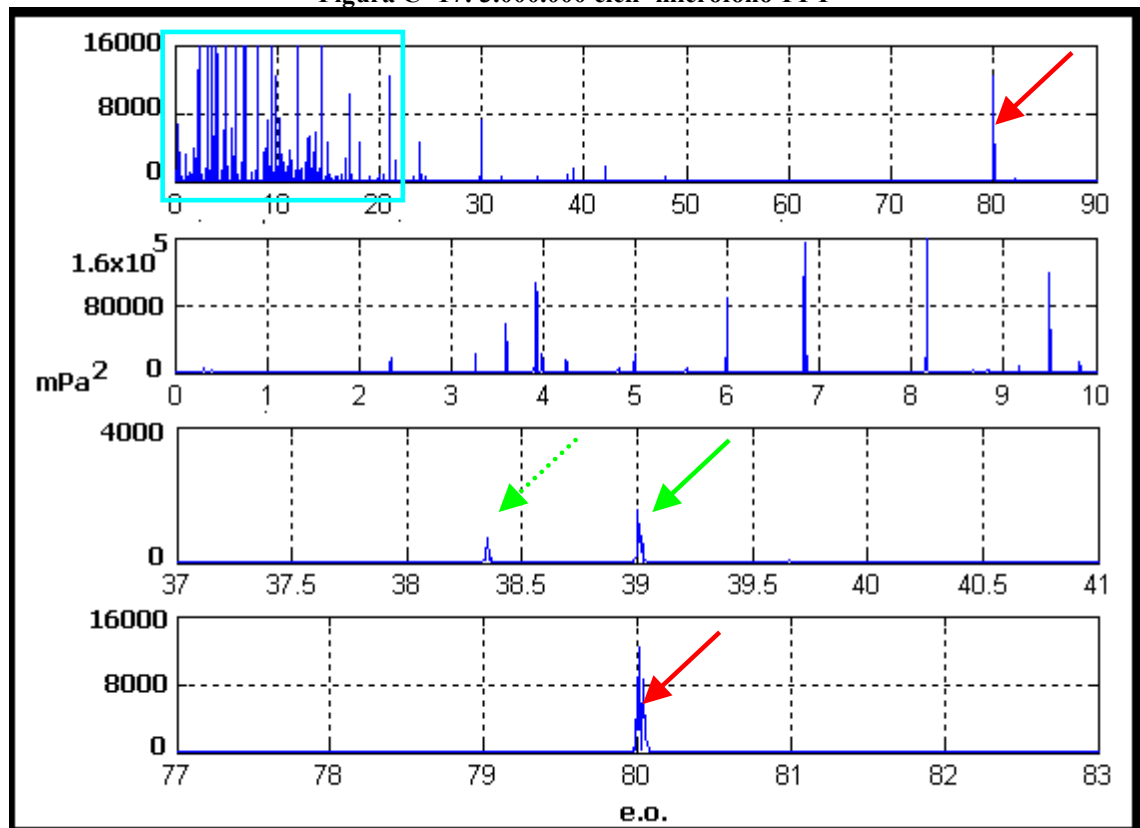


Figura C- 18: 3.000.000 cicli- microfono - PSD

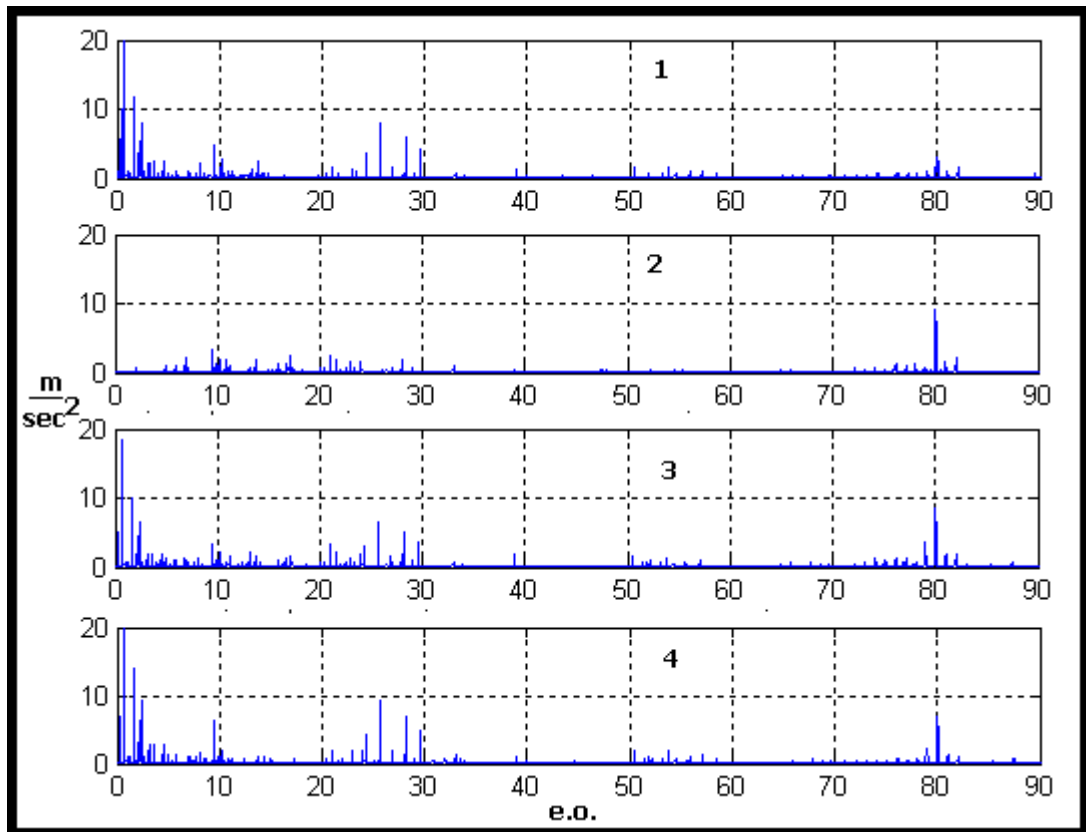


Figura C- 19: 4.000.000 cicli- 0-90FFT

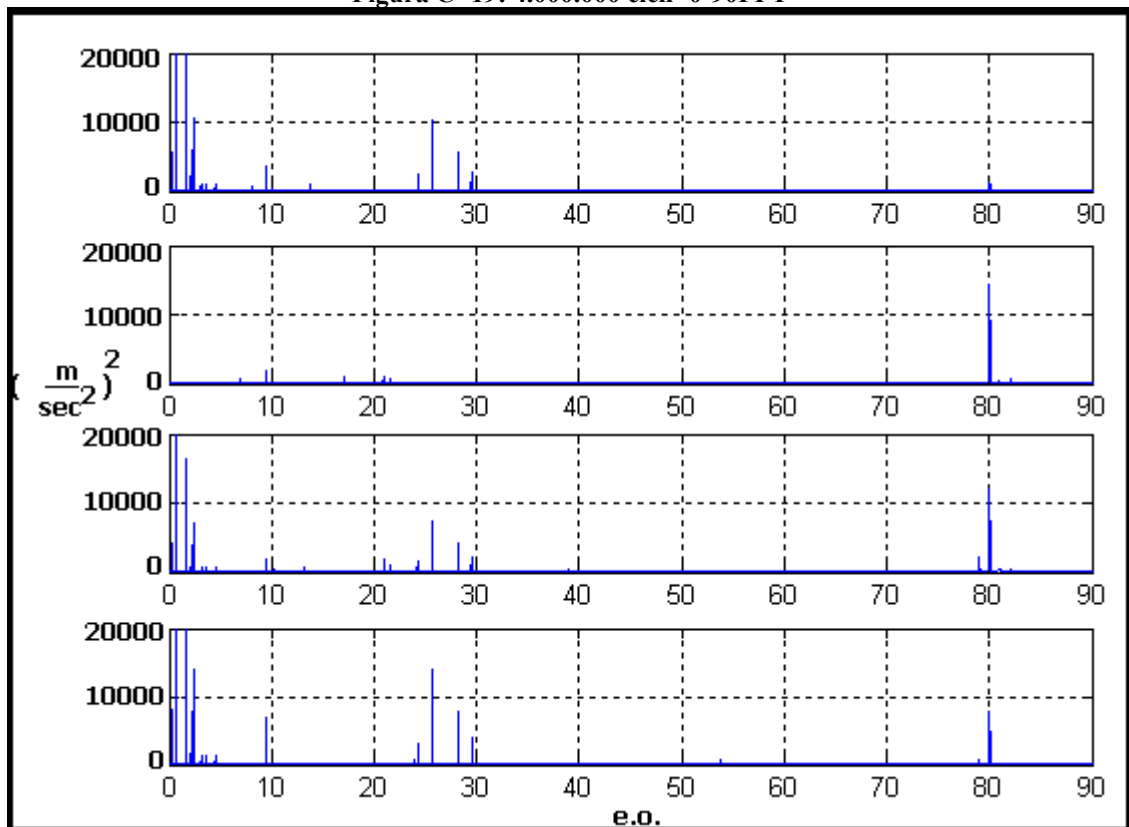


Figura C- 20: 4.000.000 cicli- 0-90PSD

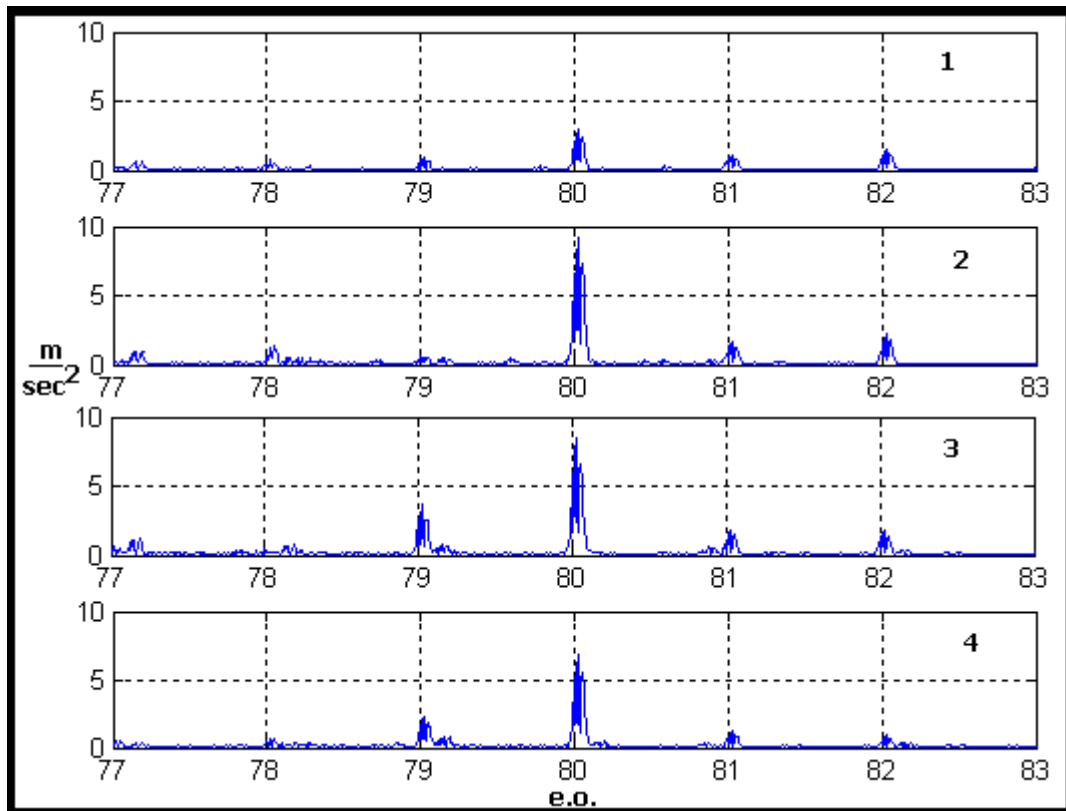


Figura C- 21: 4.000.000 cicli- 77-83FFT

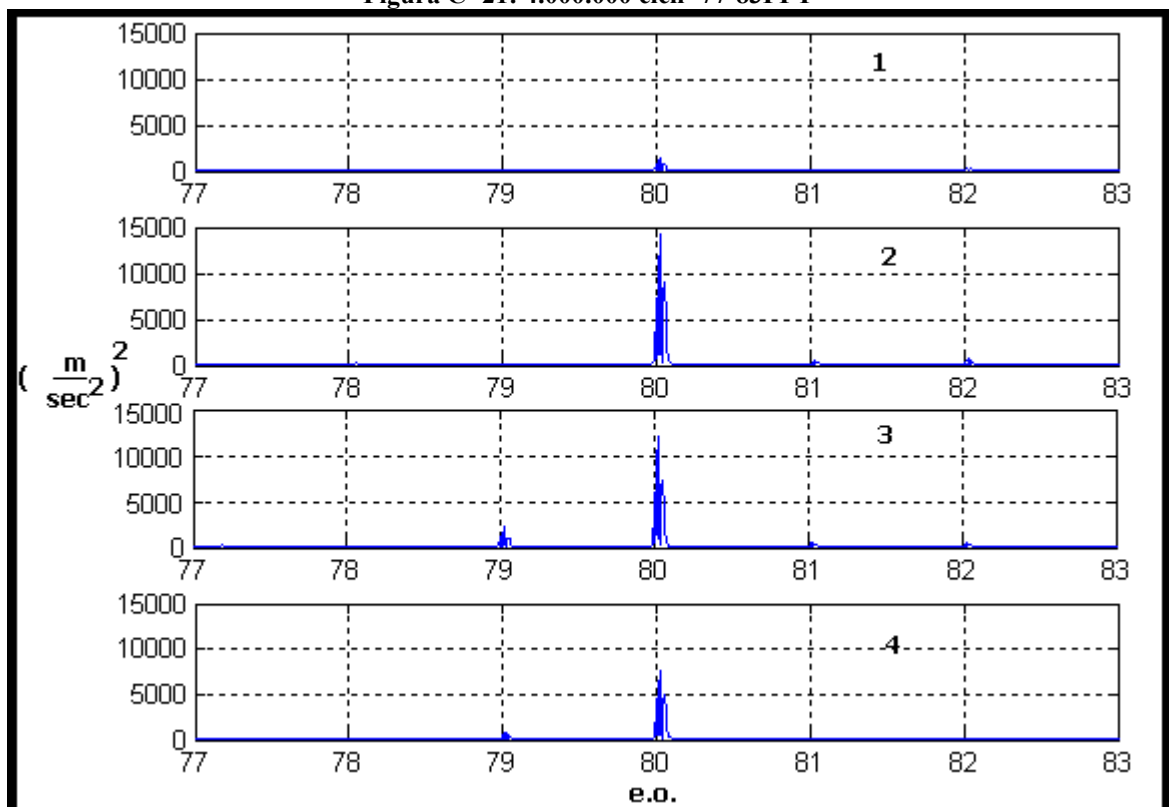


Figura C- 22: 4.000.000 cicli- 77-83PSD

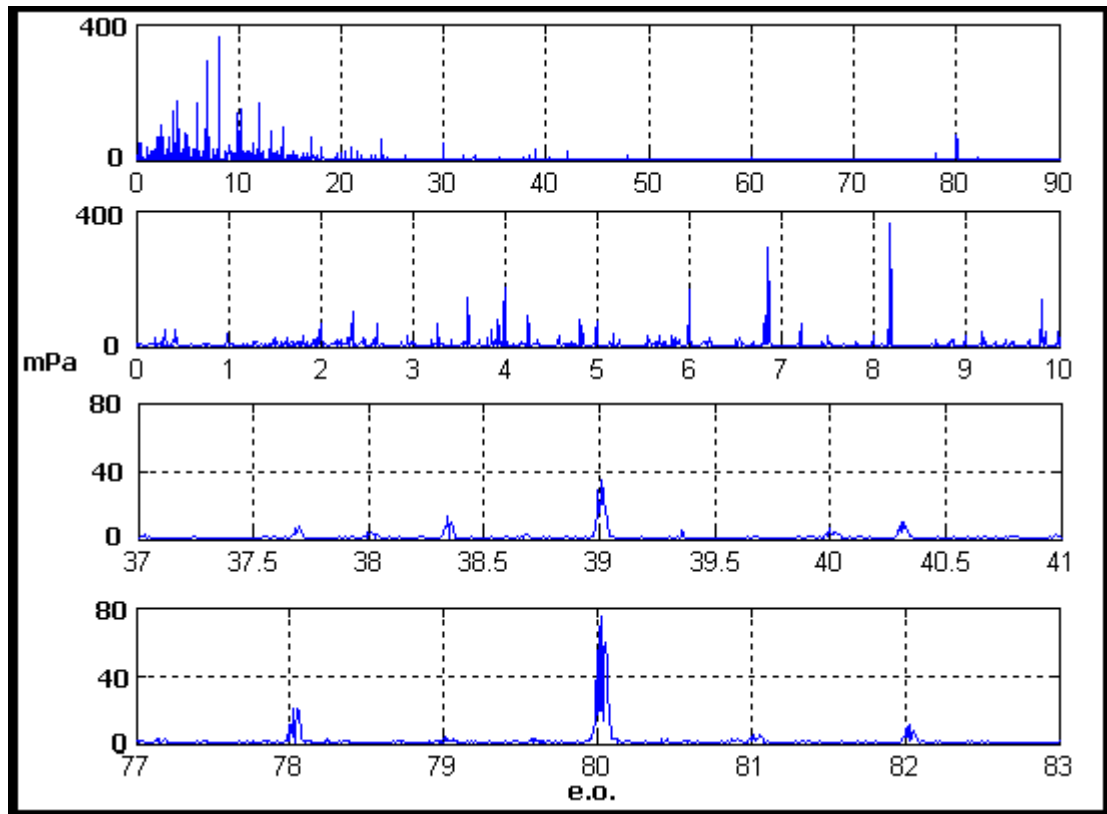


Figura C- 23: 4.000.000 cicli-microfono-FFT

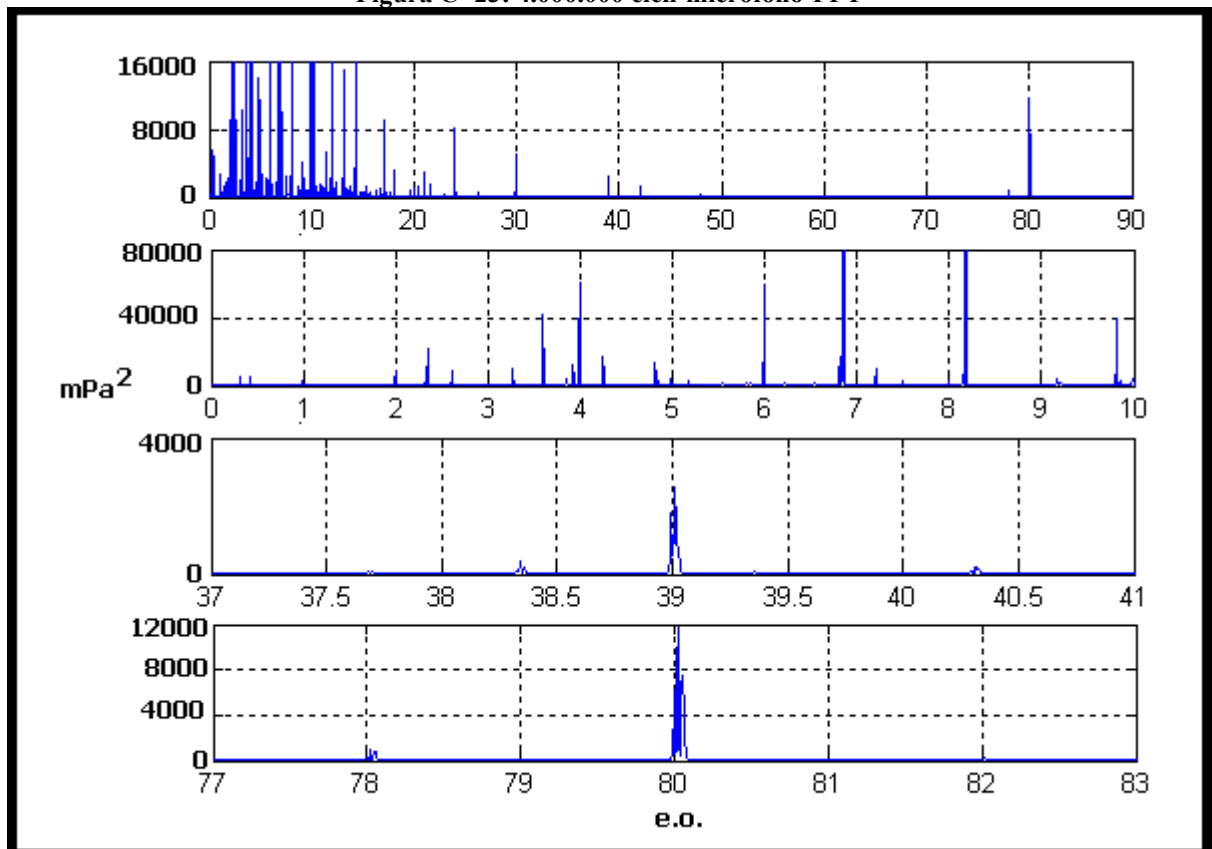


Figura C- 24: 4.000.000 cicli-microfono - PSD

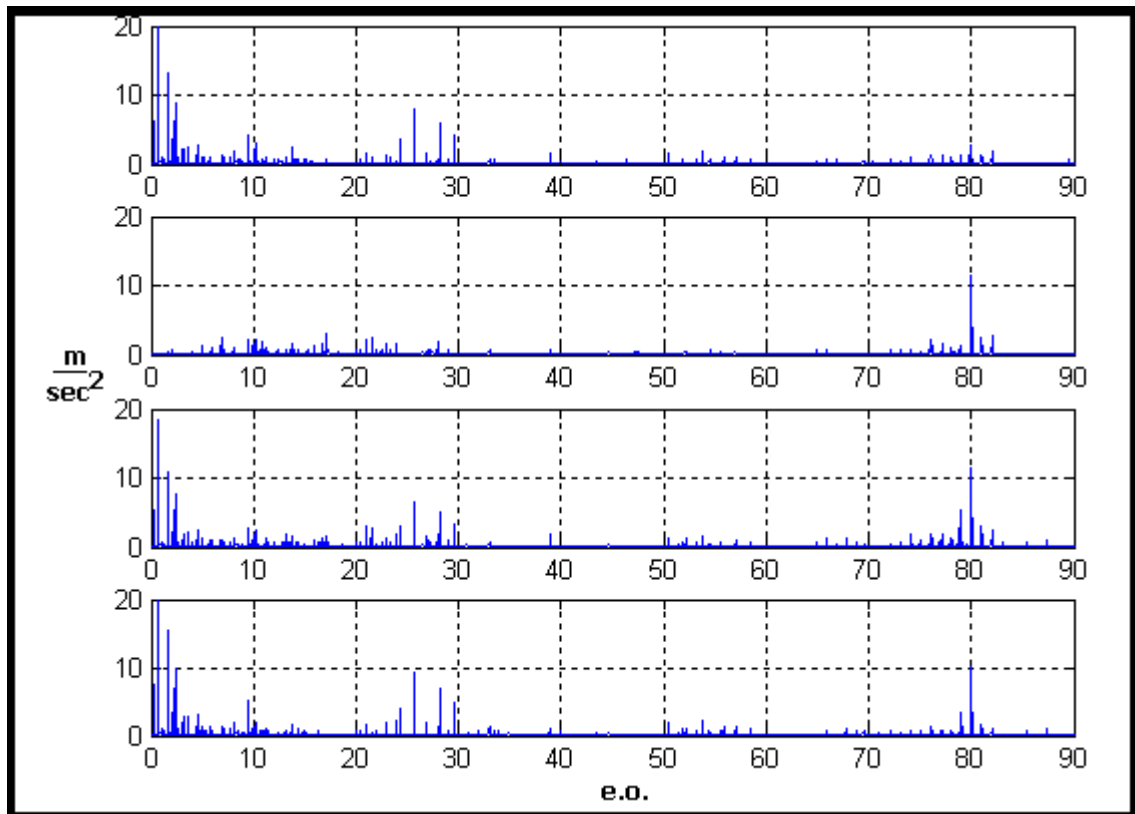


Figura C- 25: 5.000.000 cicli- 0-90FFT

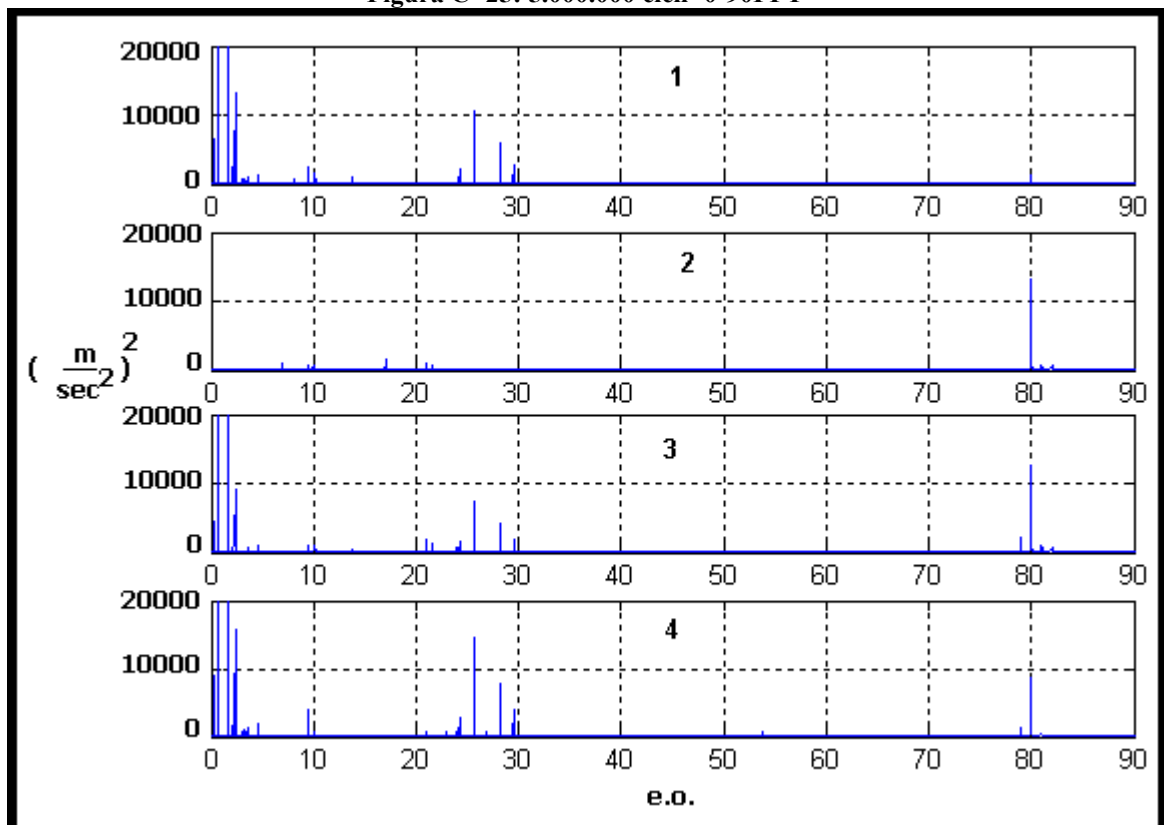


Figura C- 26: 5.000.000 cicli- 0-90PSD

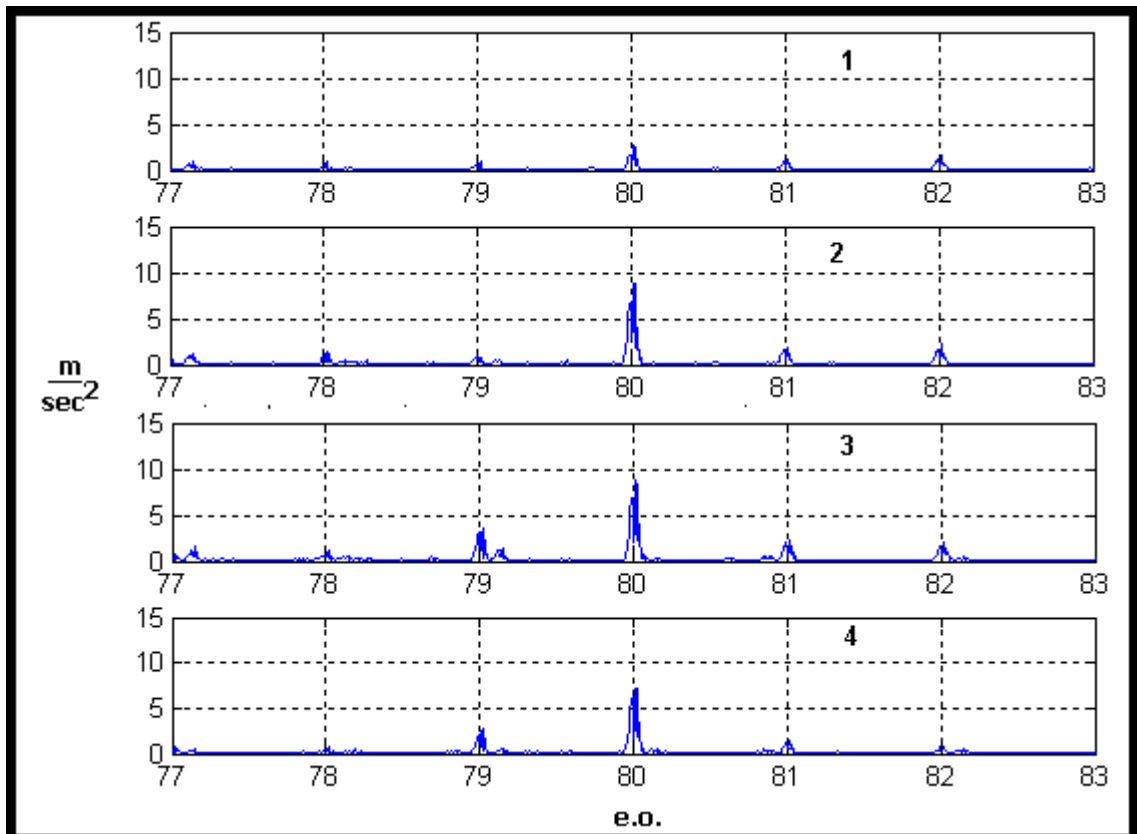


Figura C- 27: 5.000.000 cicli- 77-83-FFT

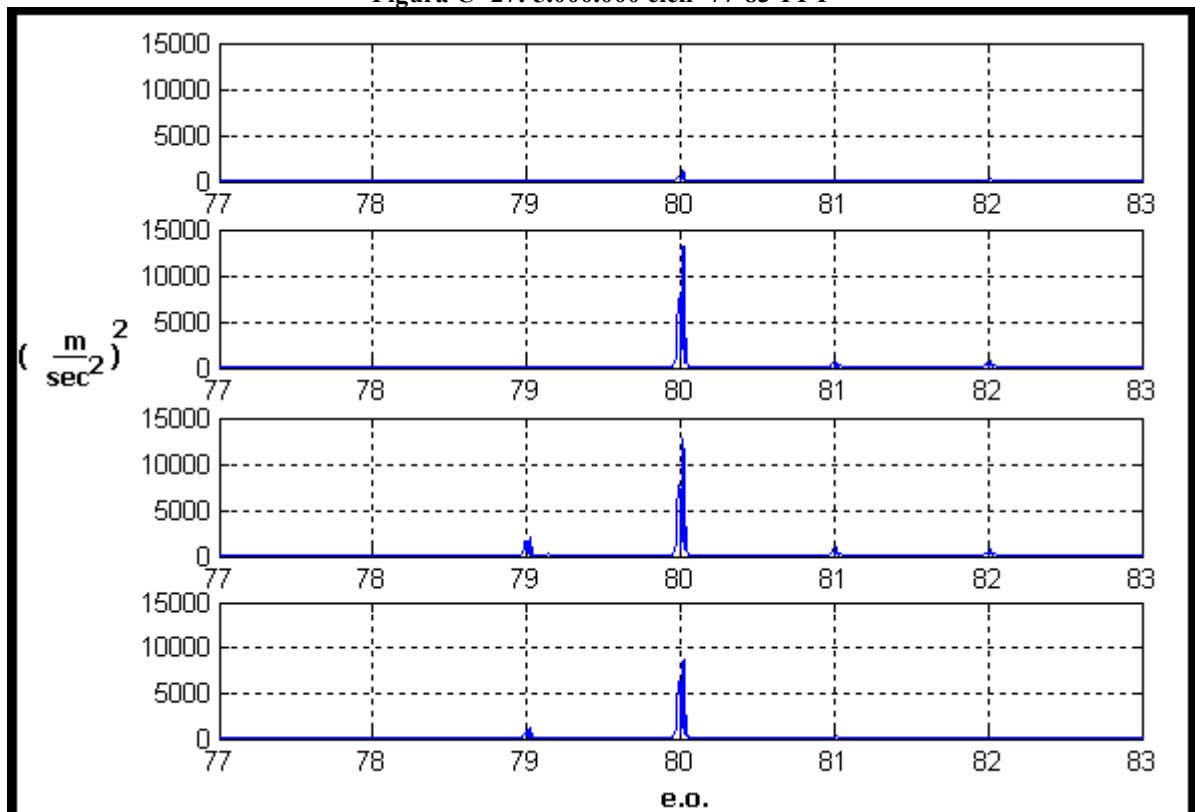


Figura C- 28: 5.000.000 cicli- 77-83-PSD

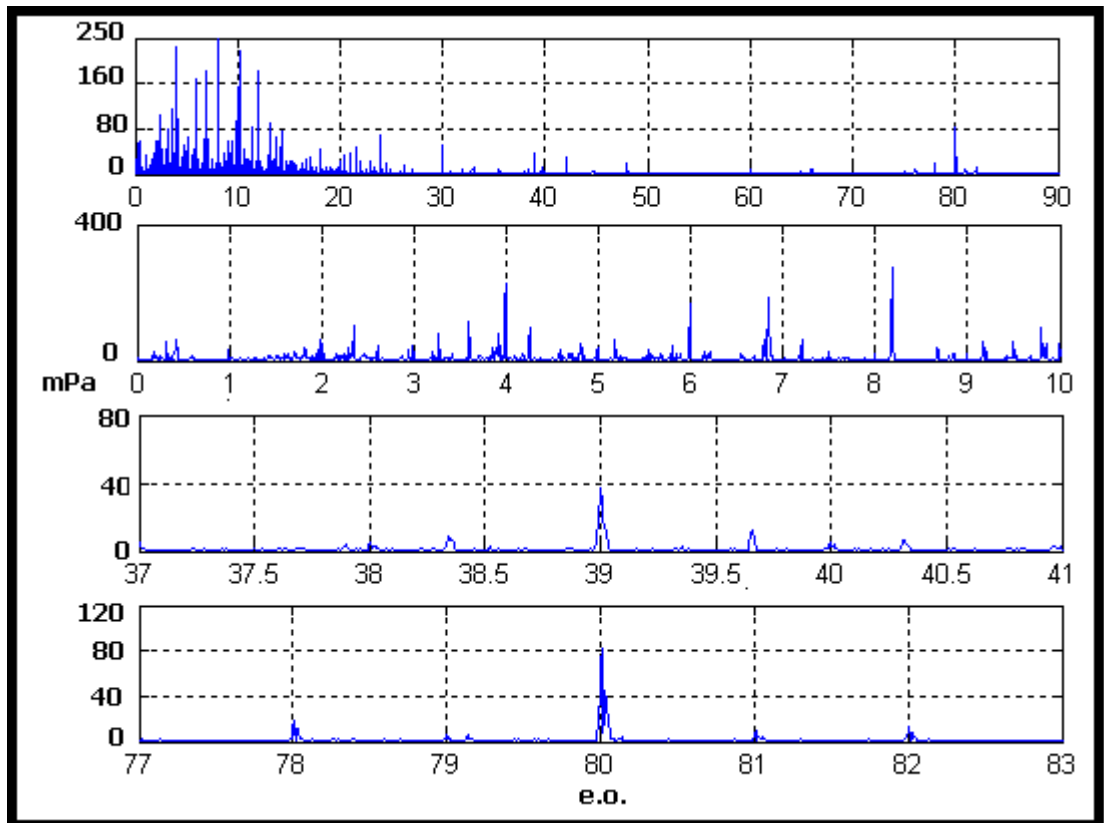


Figura C- 29: 5.000.000 cicli- microfono-FFT

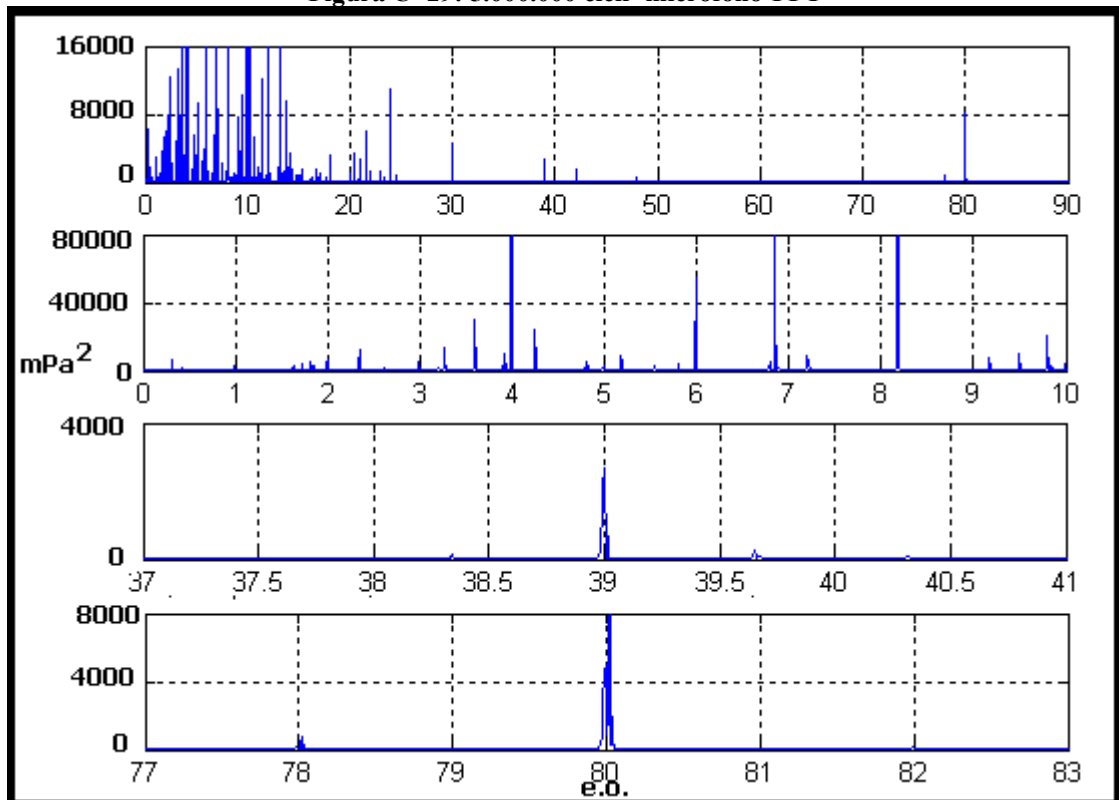


Figura C- 30: 5.000.000 cicli- microfono-PSD

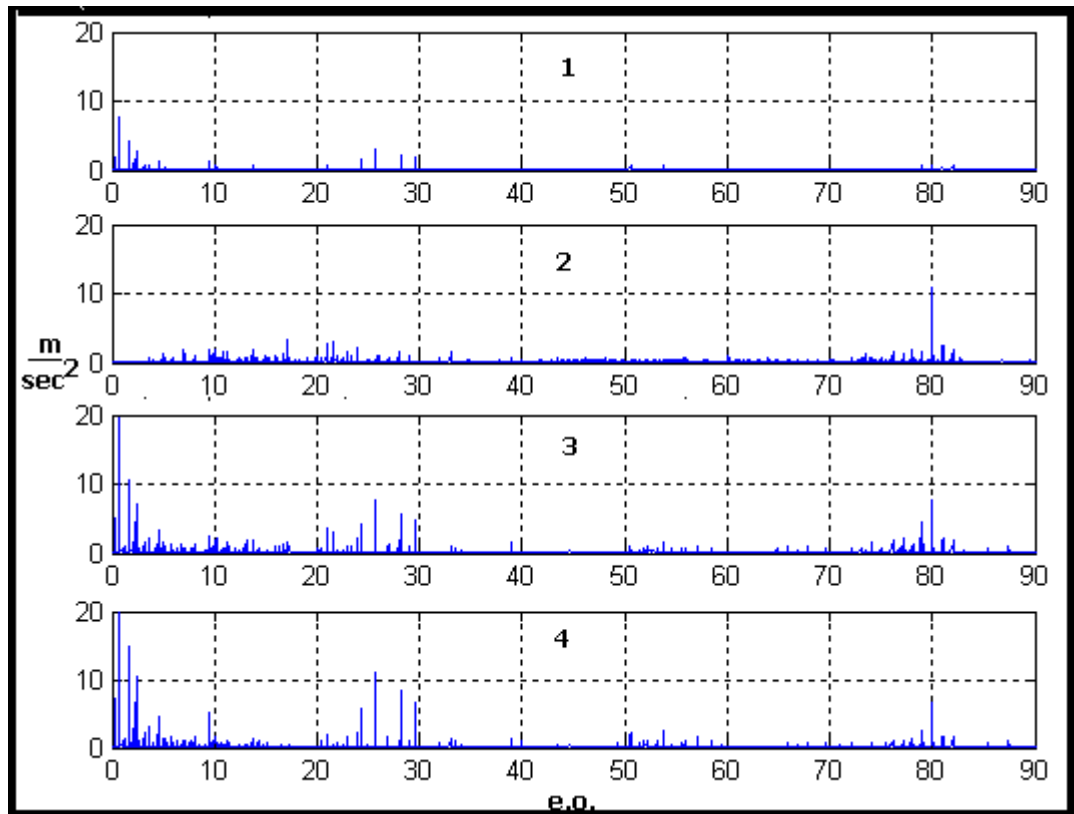


Figura C- 31: 6.000.000 cicli- 0-90-FFT

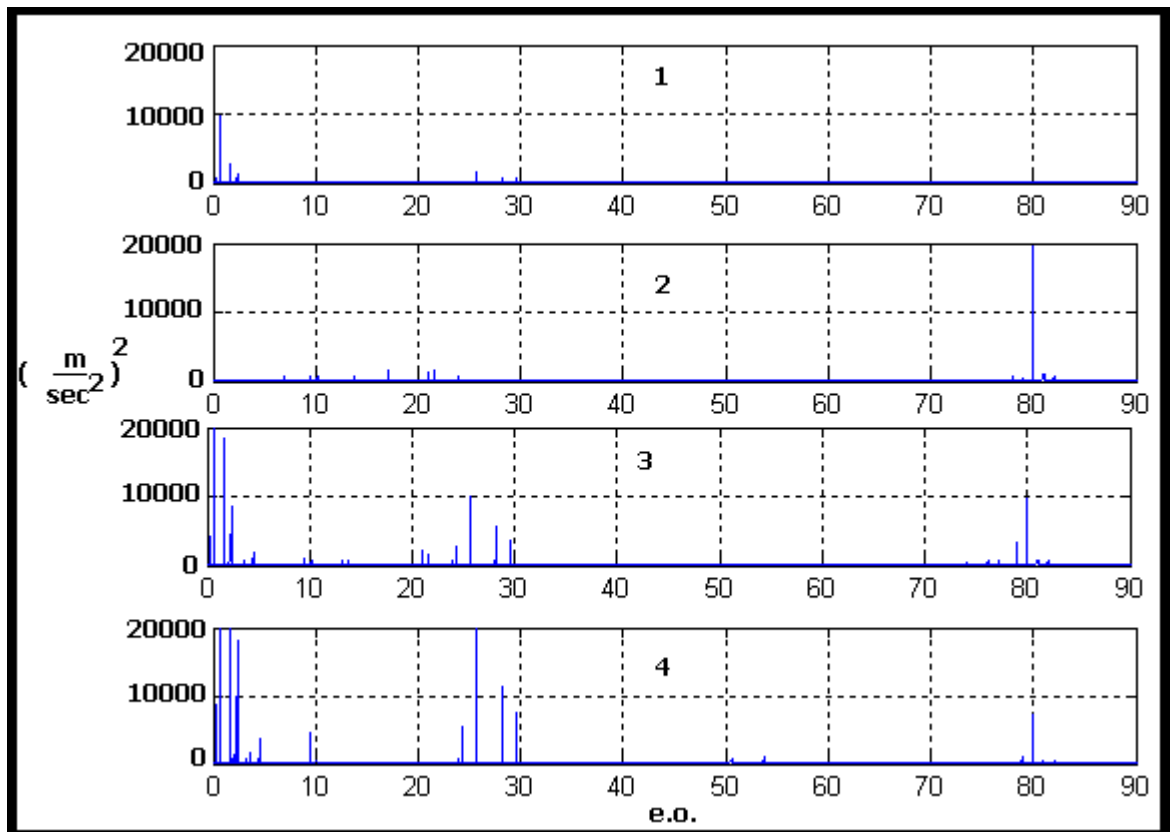


Figura C- 32: 6.000.000 cicli- 0-90-PSD



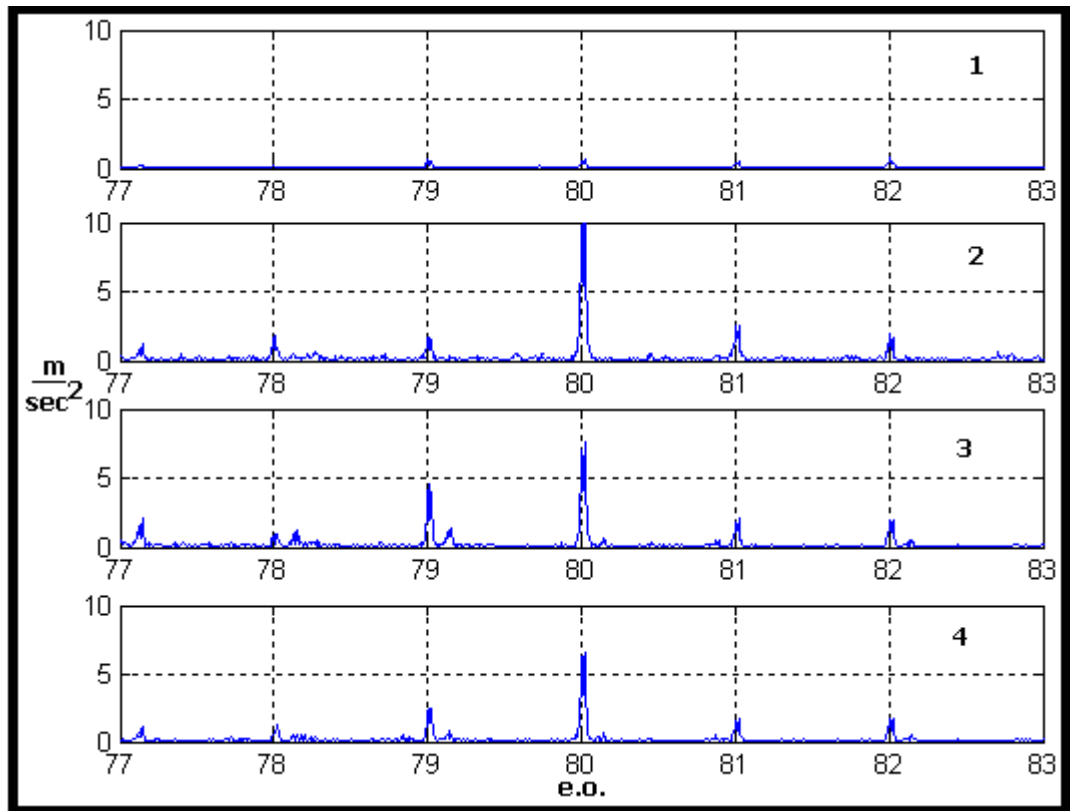


Figura C- 33: 6.000.000 cicli-77-83-FFT

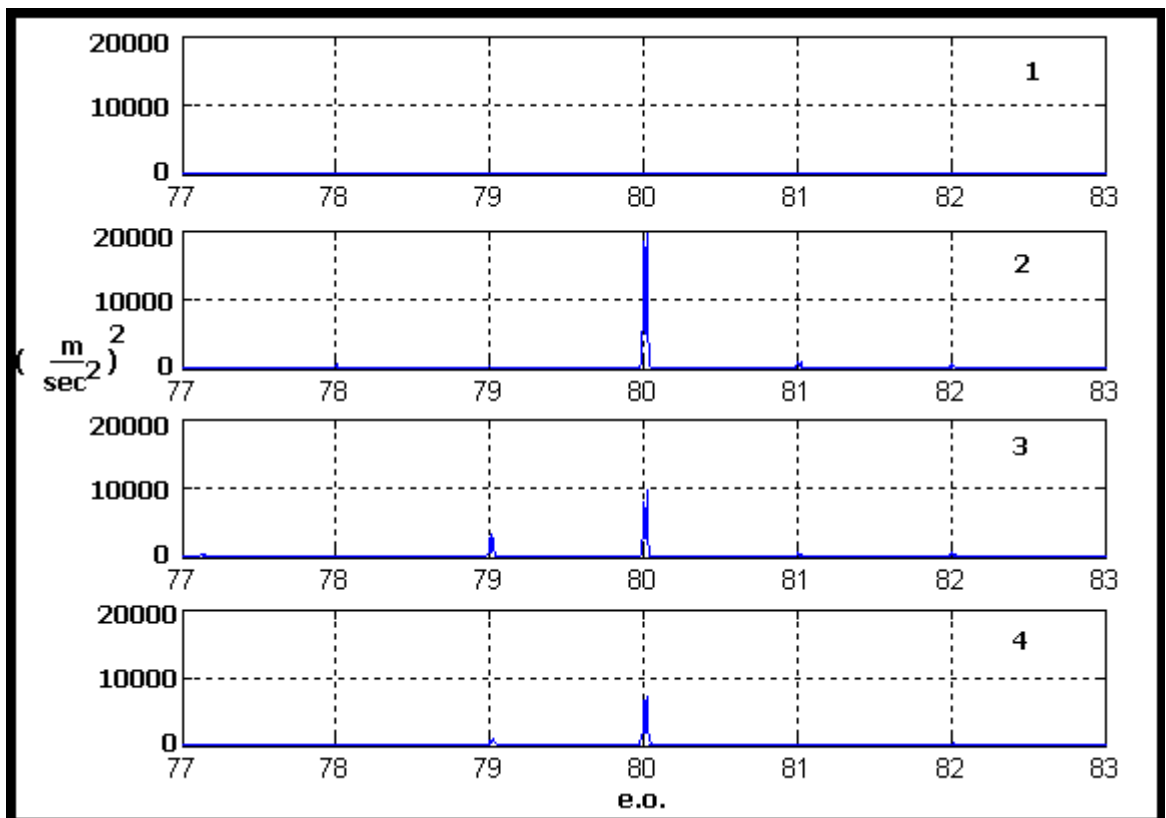


Figura C- 34: 6.000.000 cicli-77-83-PSD

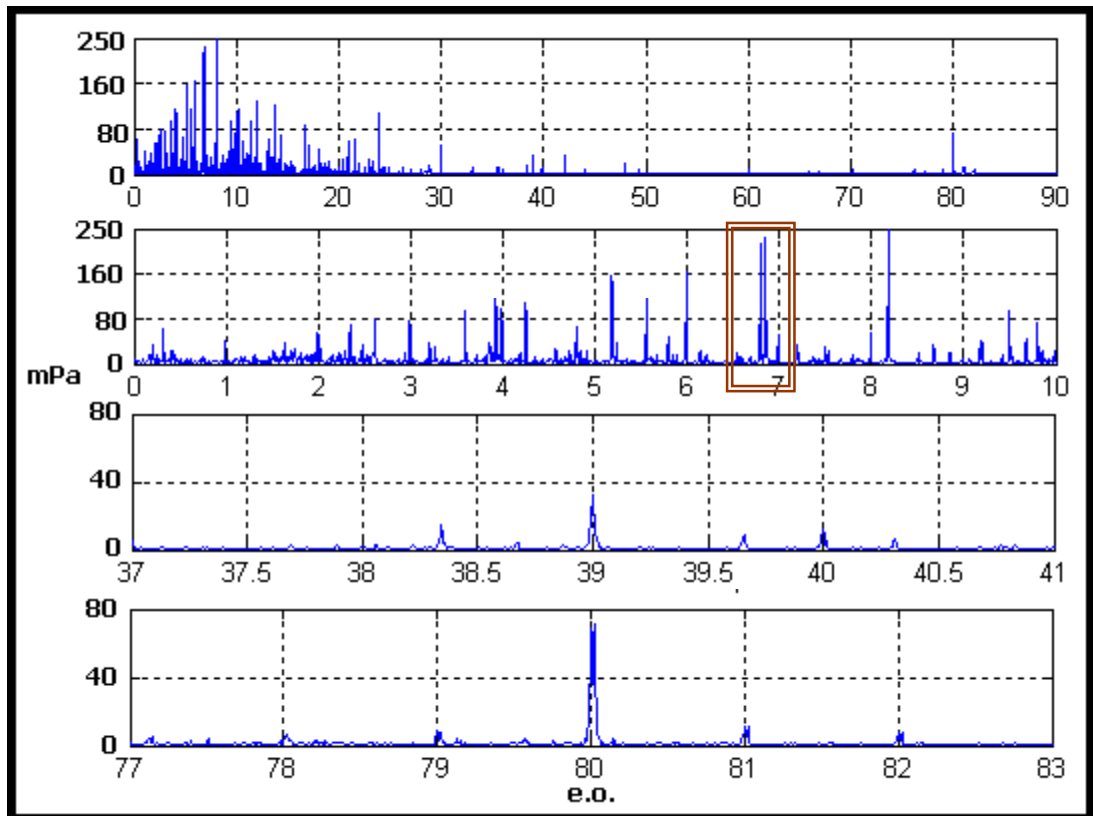


Figura C- 35: 6.000.000 cicli-micr-FFT

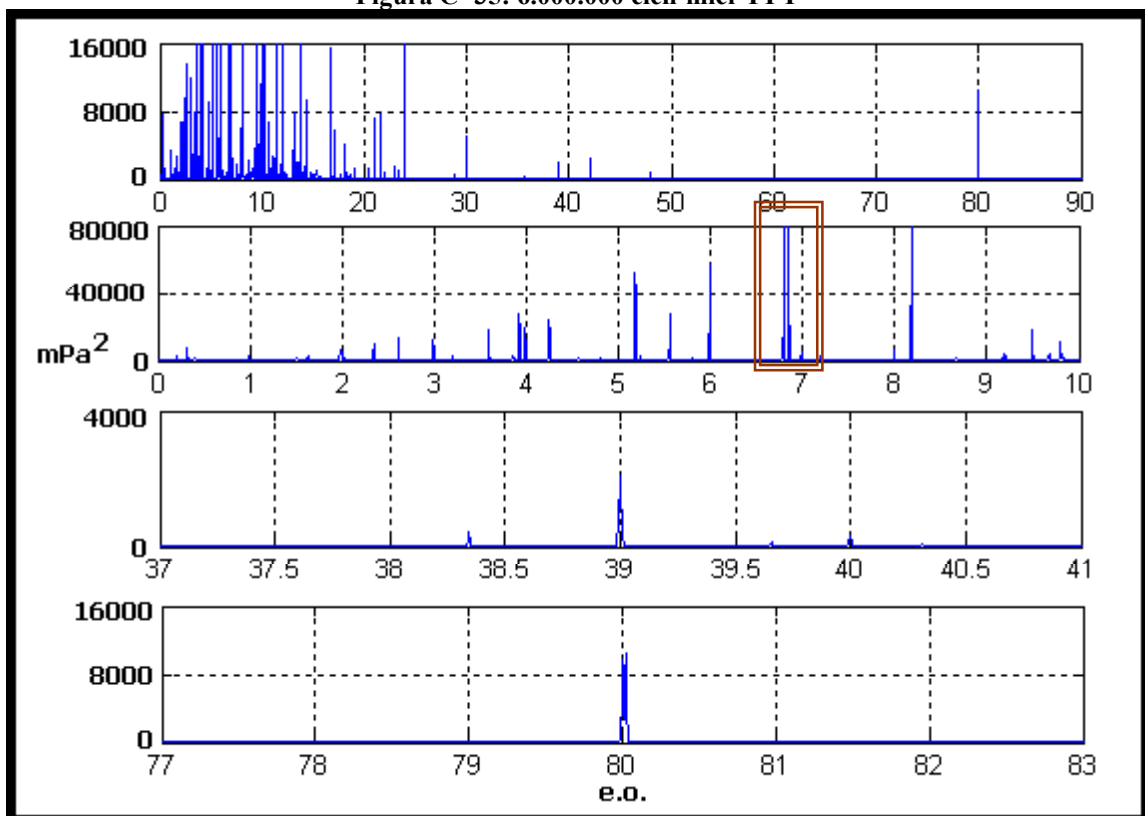


Figura C- 36: 6.000.000 cicli-micr-PSD

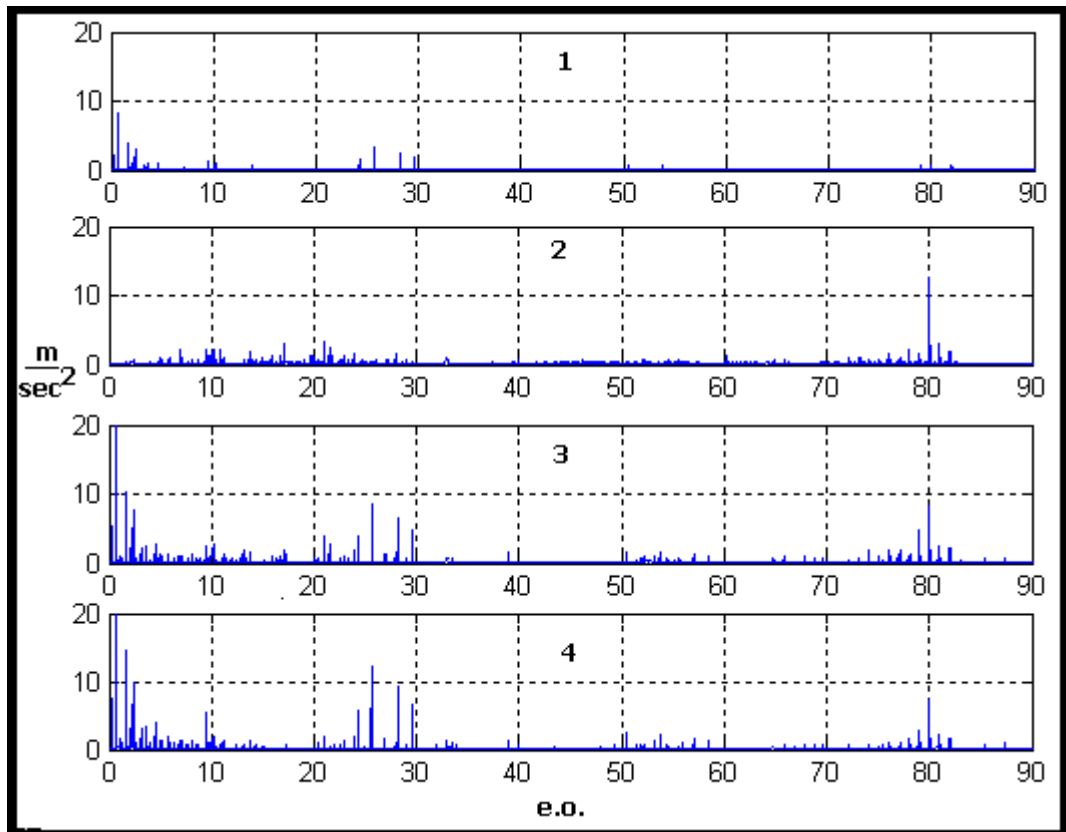


Figura C- 37: 7.000.000 cicli- 0-90-FFT

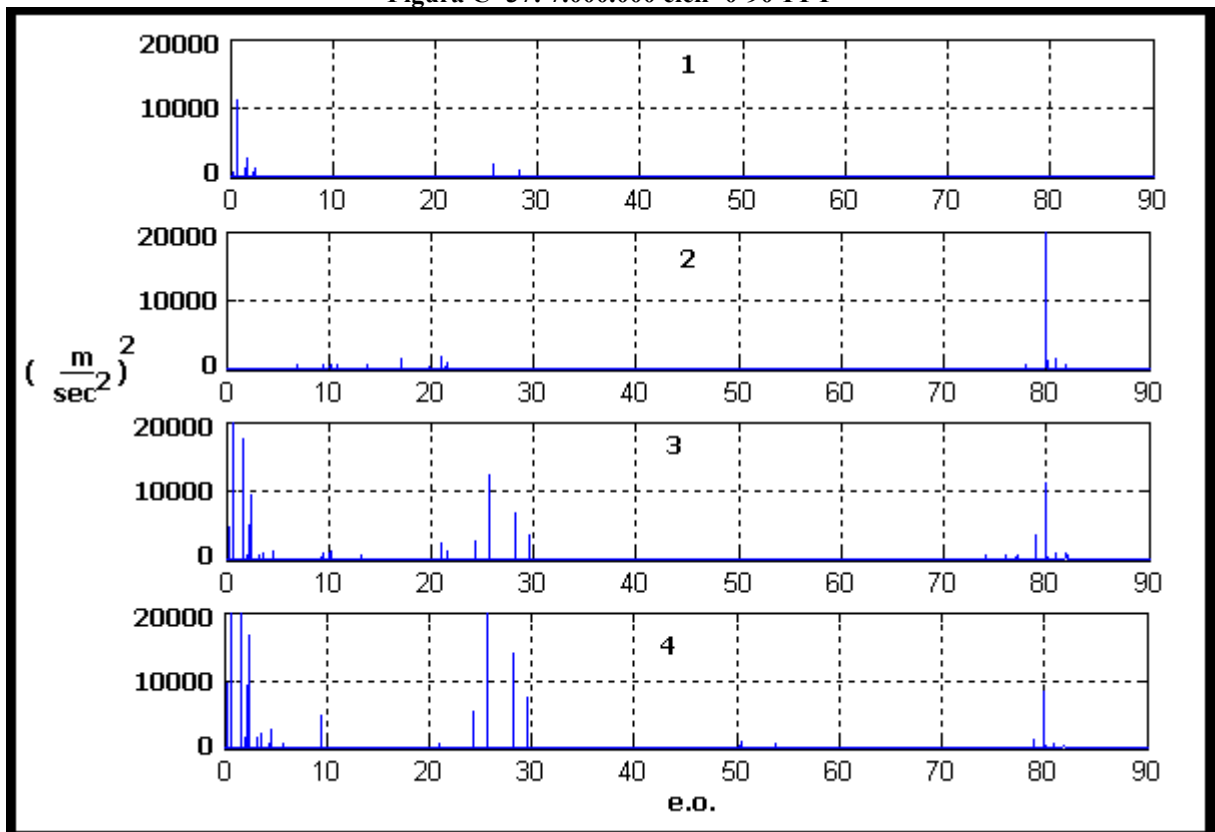


Figura C- 38: 7.000.000 cicli- 0-90-PSD

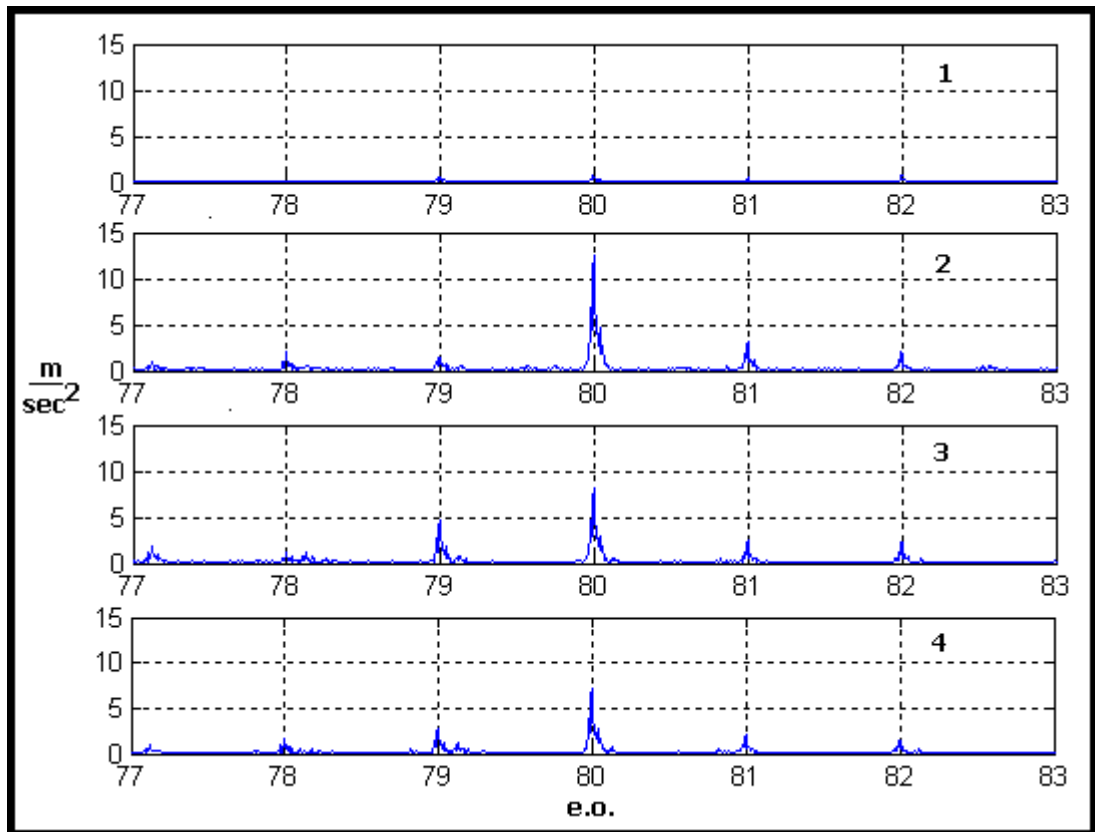


Figura C- 39: 7.000.000 cicli- 77-83-FFT

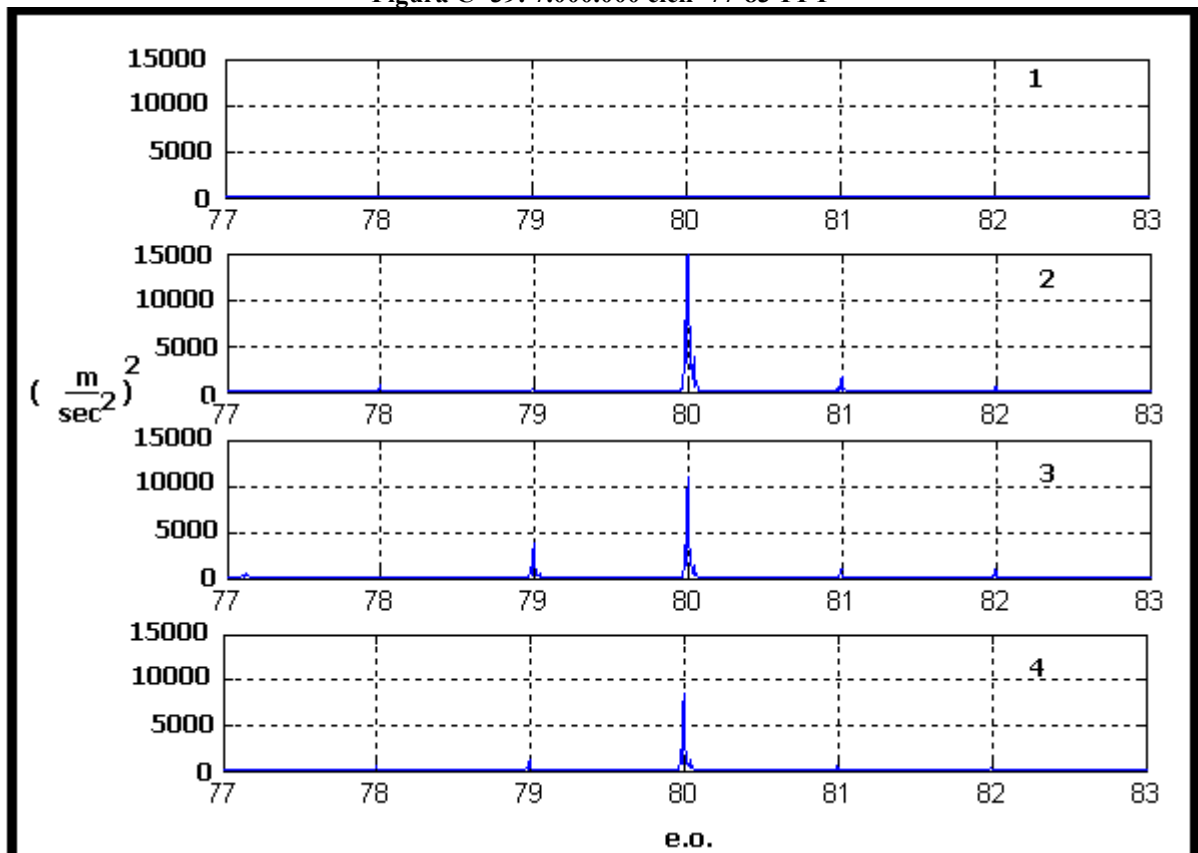


Figura C- 40: 7.000.000 cicli- 77-83-PSD

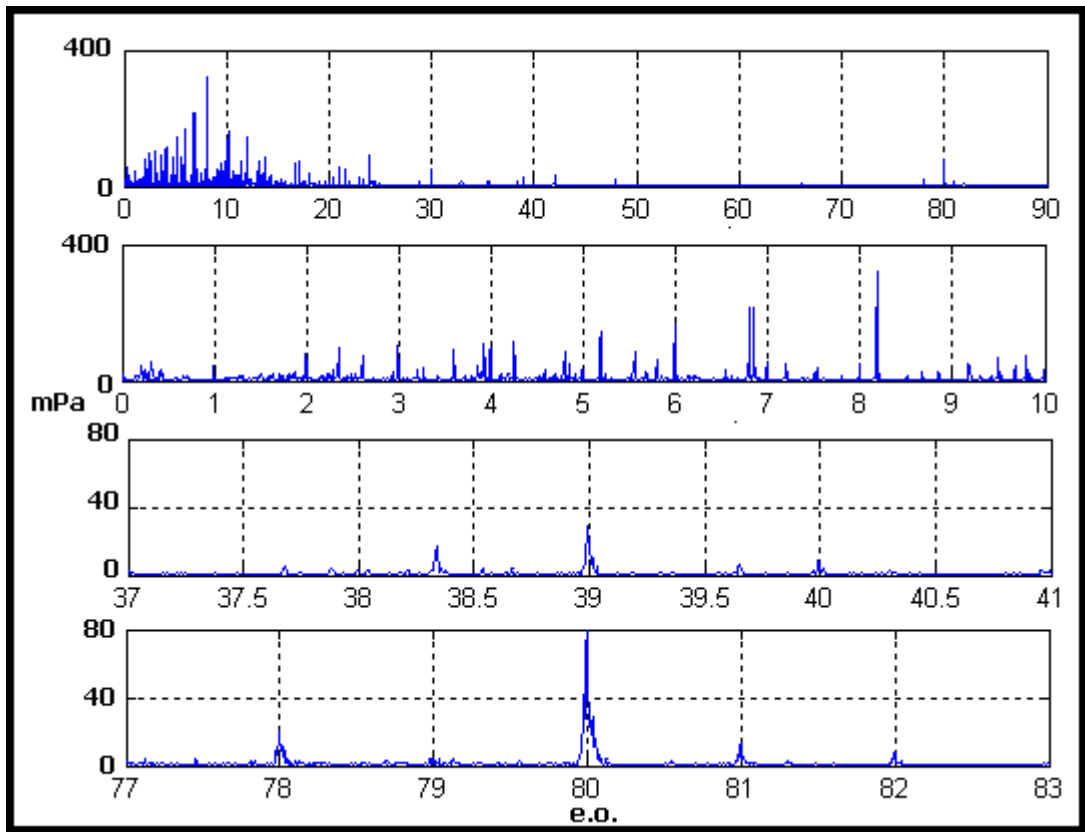


Figura C- 41: 7.000.000 cicli- micr-FFT

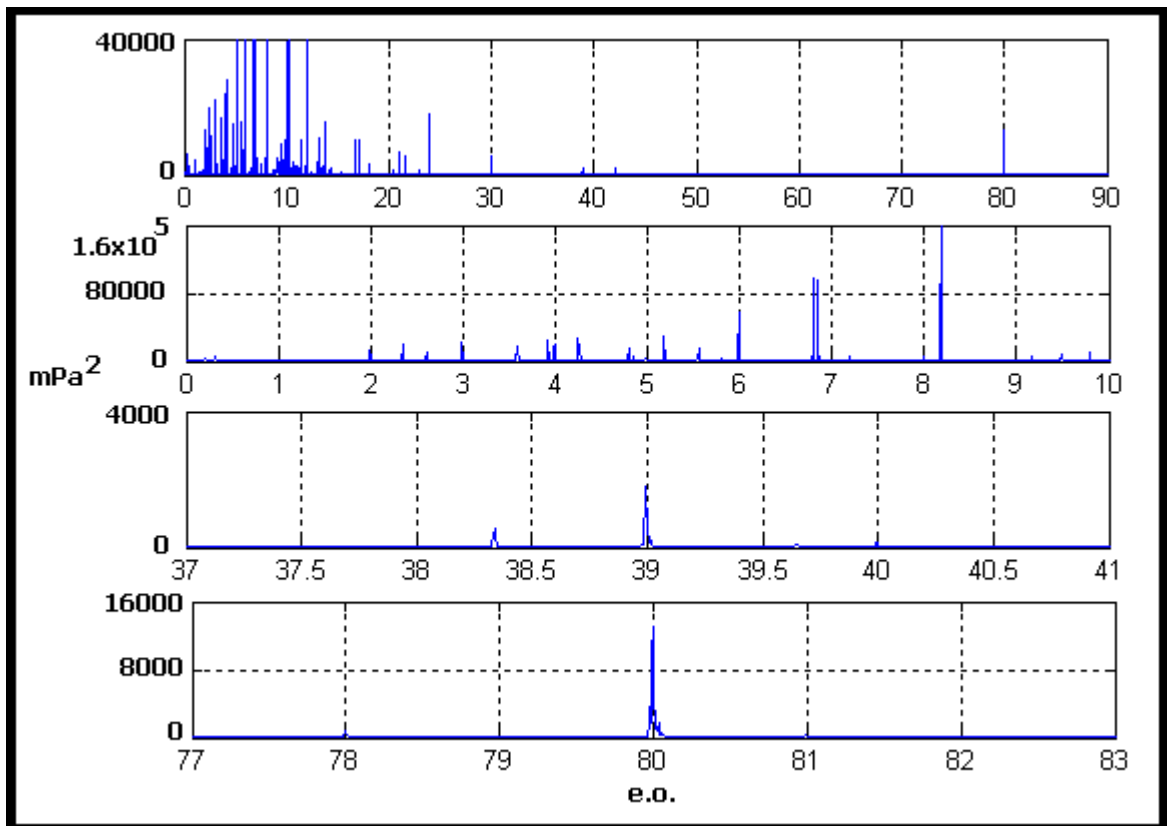


Figura C- 42: 7.000.000 cicli- micr-PSD

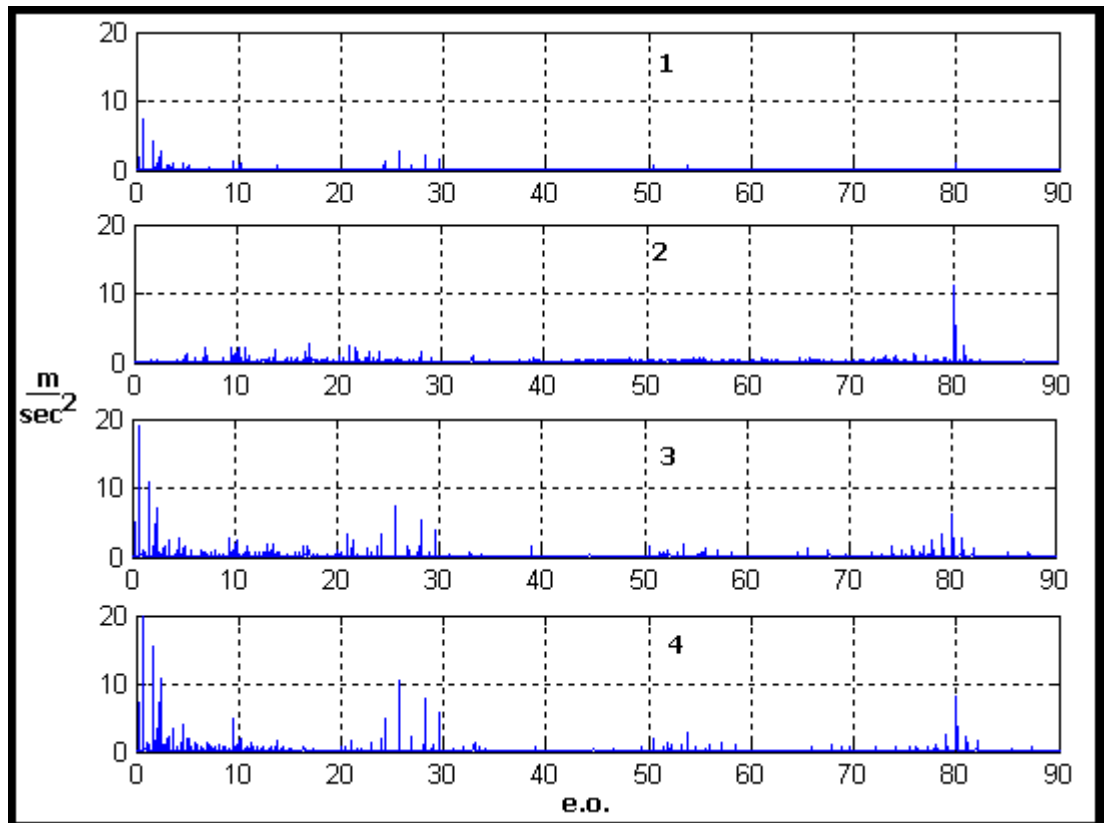


Figura C- 43: 8.000.000 cicli- 0-90-FFT

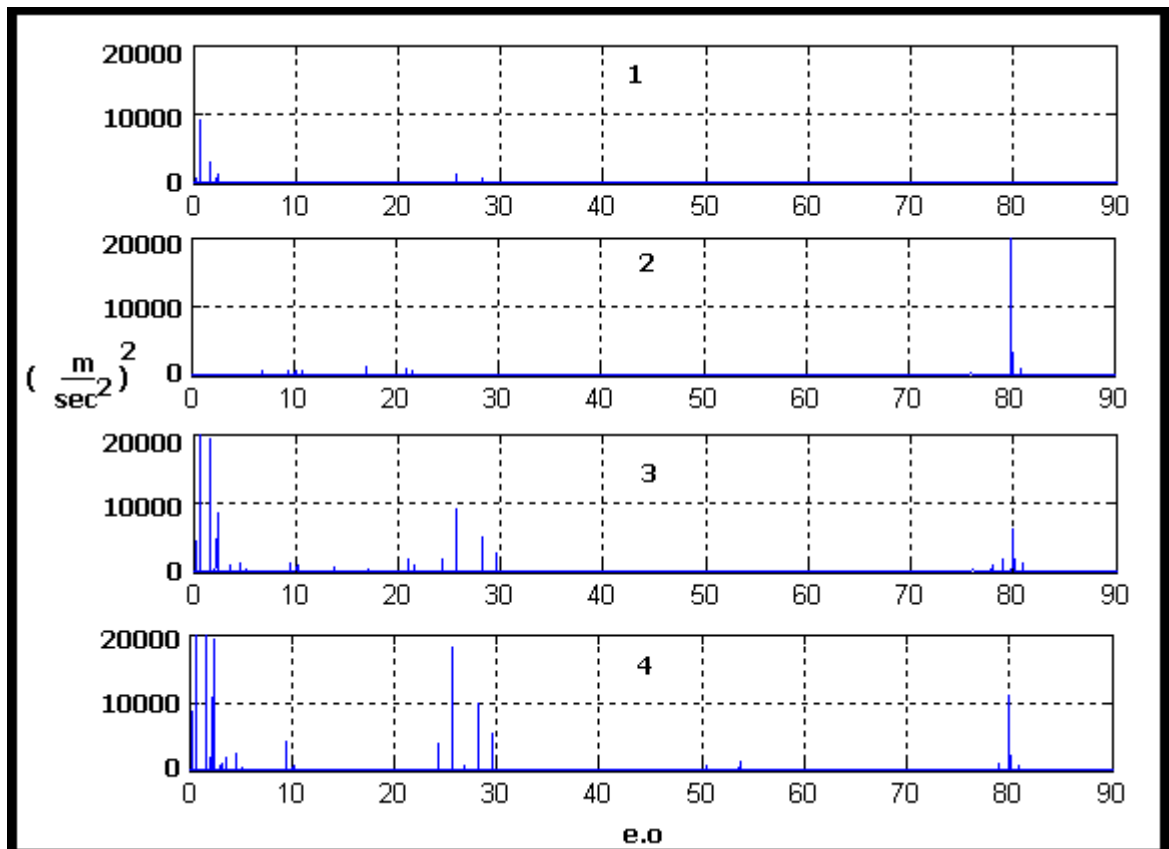


Figura C- 44: 8.000.000 cicli- 0-90-PSD

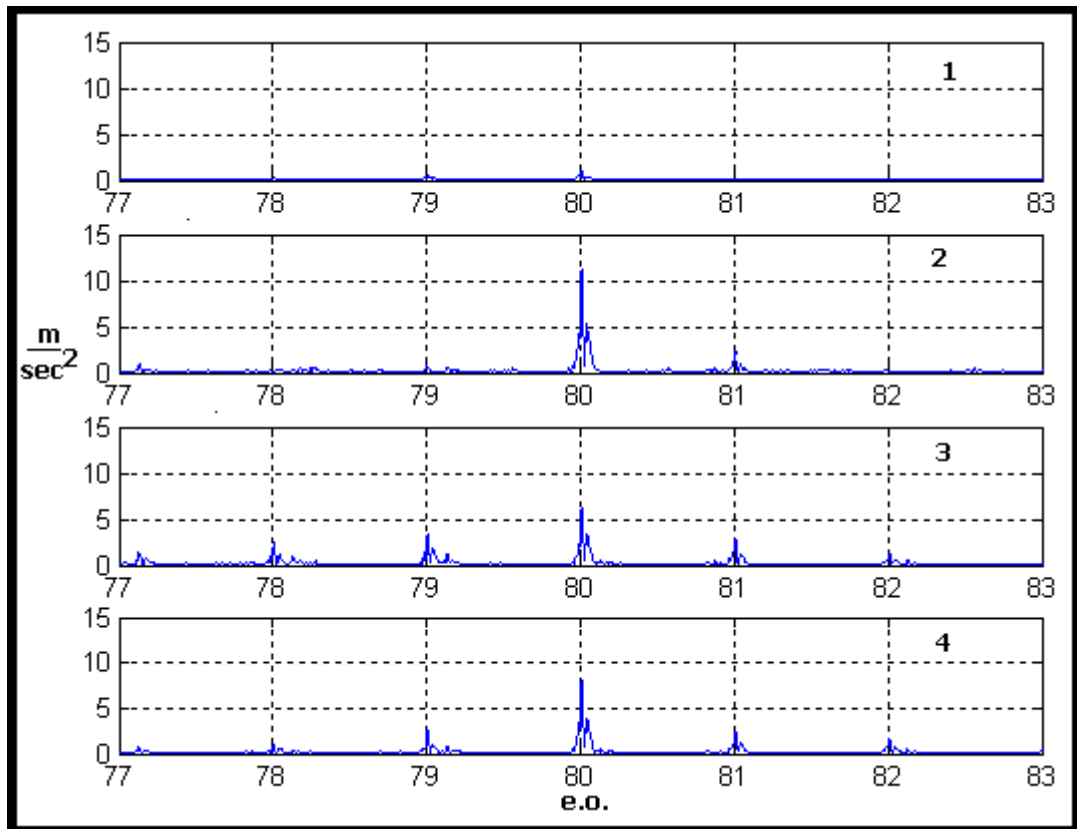


Figura C- 45:8.000.000 cicli- 77-83-FFT

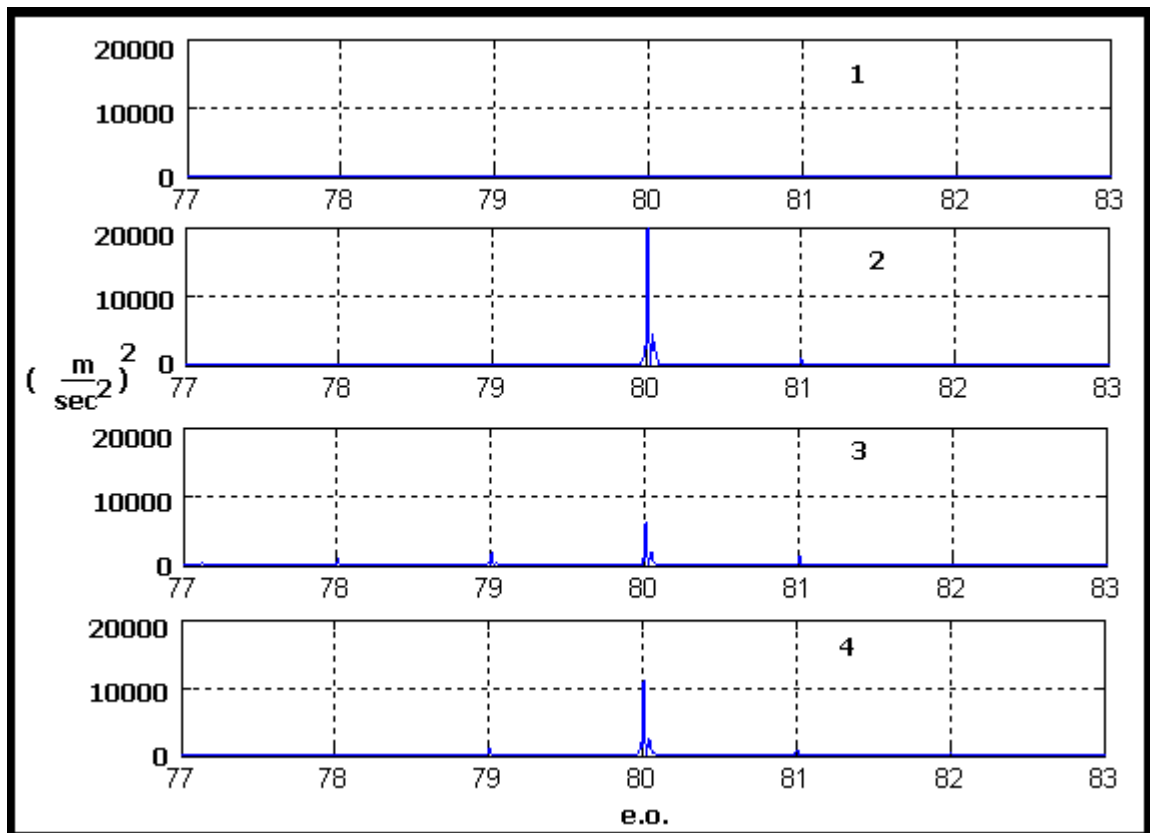


Figura C- 46: 8.000.000 cicli- 77-83-PSD

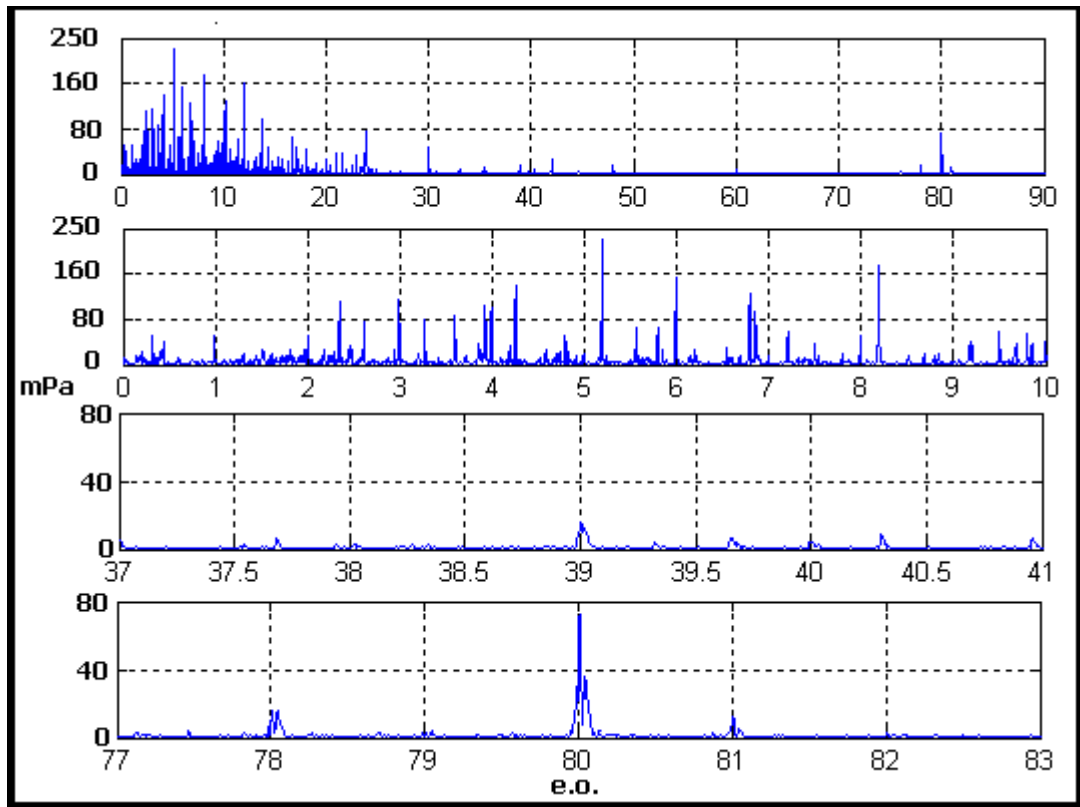


Figura C- 47: 8.000.000 cicli- micr-FFT

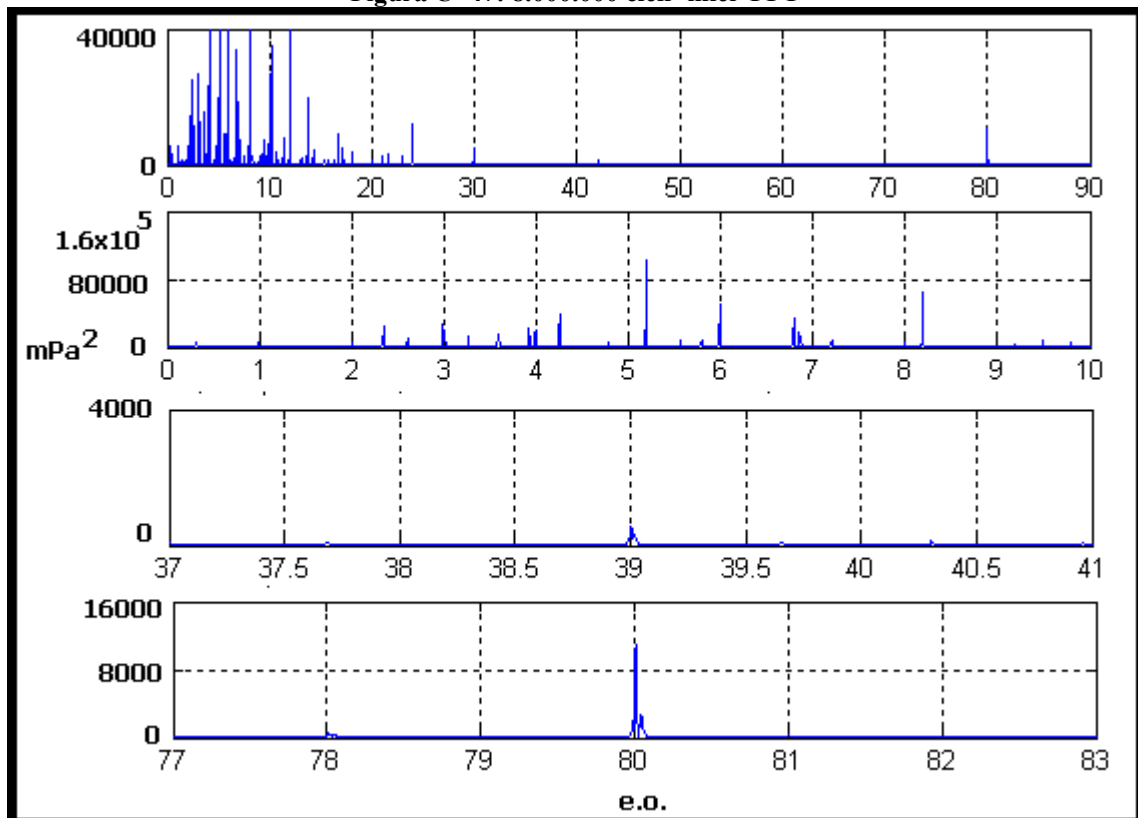


Figura C- 48: 8.000.000 cicli- micr-PSD



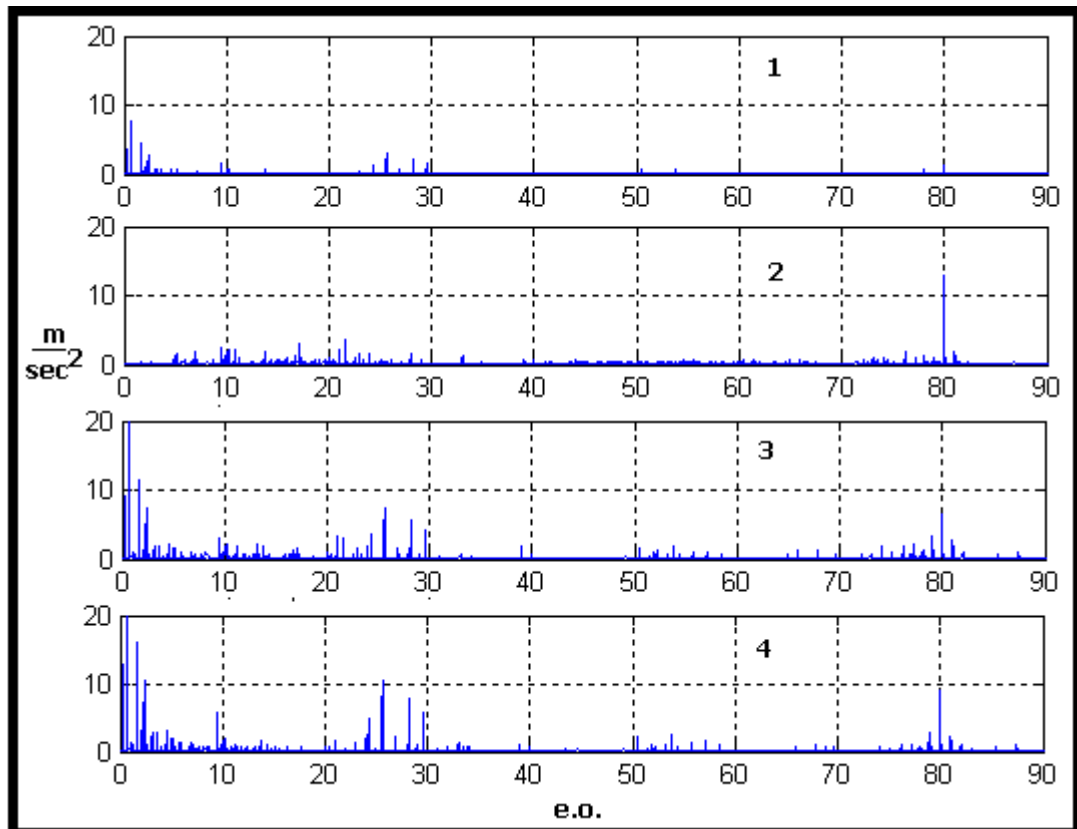


Figura C- 49: 9.000.000 cicli- 0-90-FFT

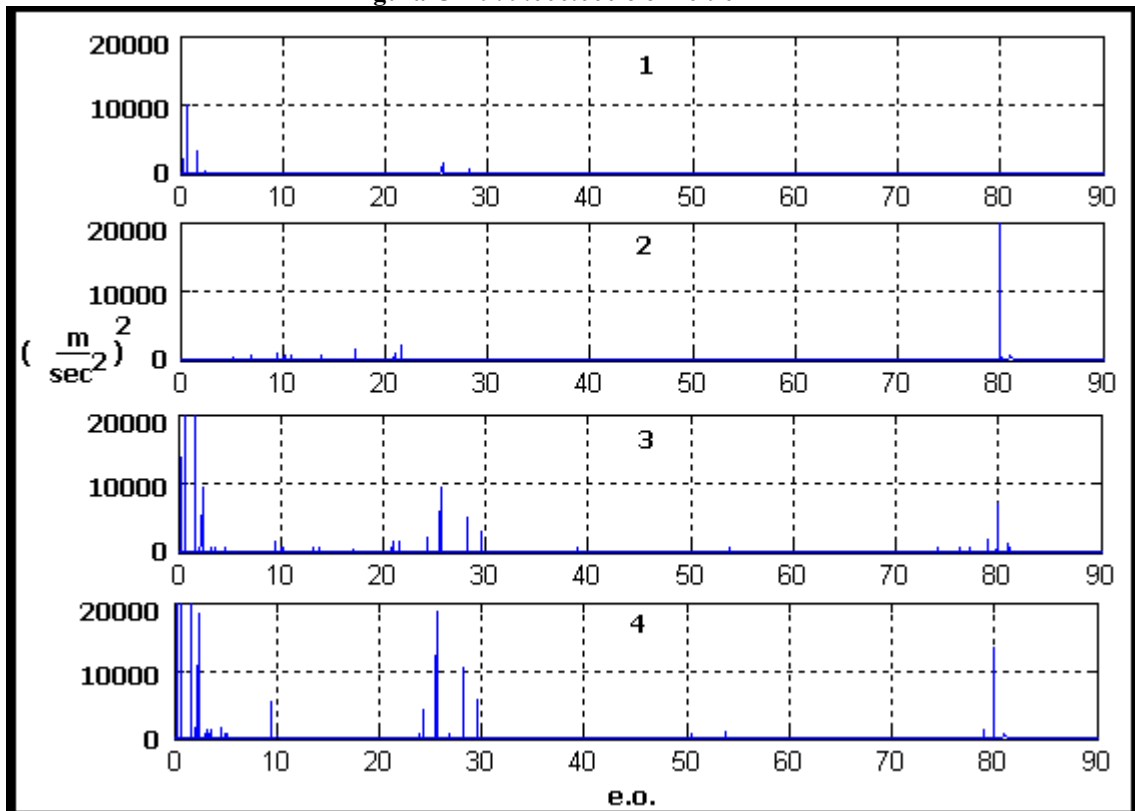


Figura C- 50: 9.000.000 cicli- 0-90-PSD

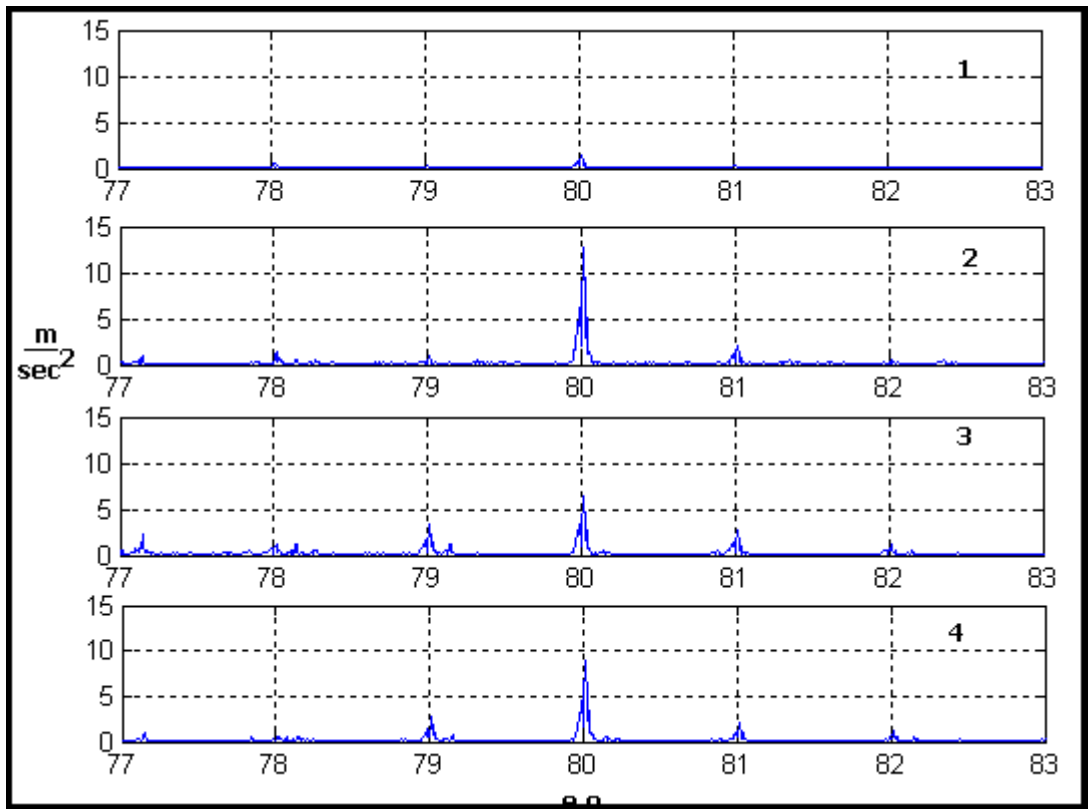


Figura C- 51: -9.000.000 cicli-77-83 FFT

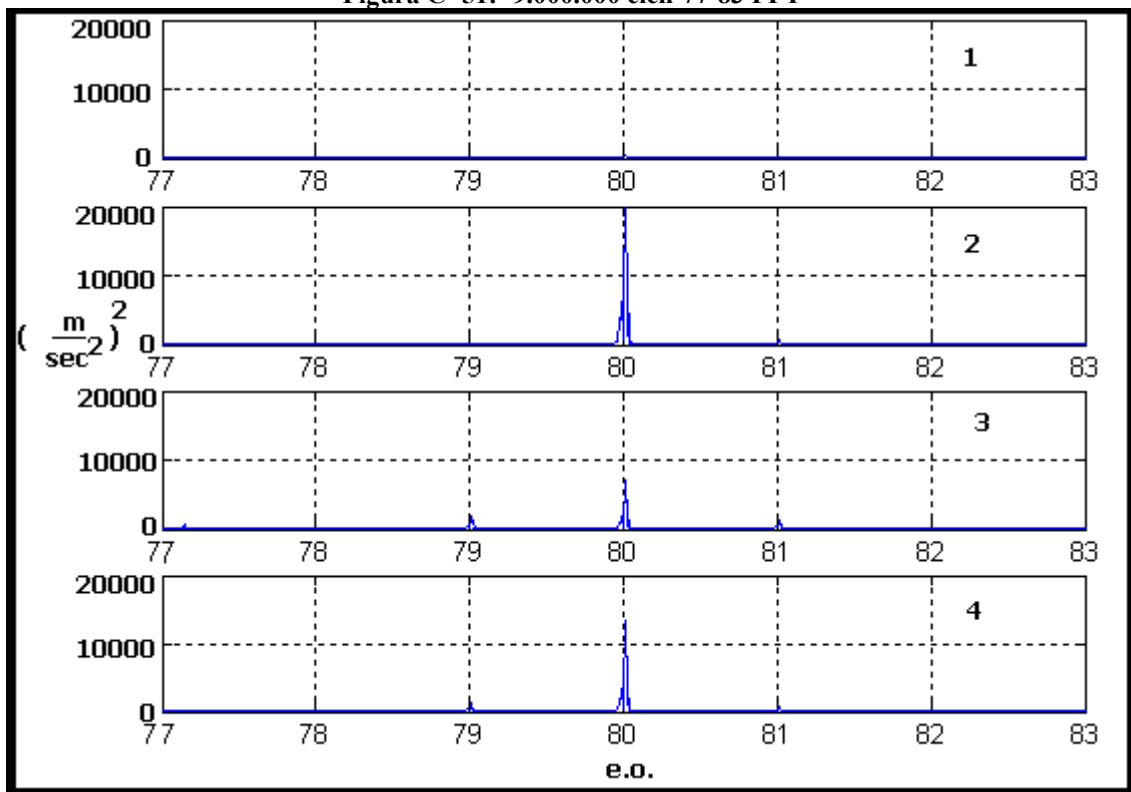


Figura C- 52: 9.000.000 cicli-77-83 PSD

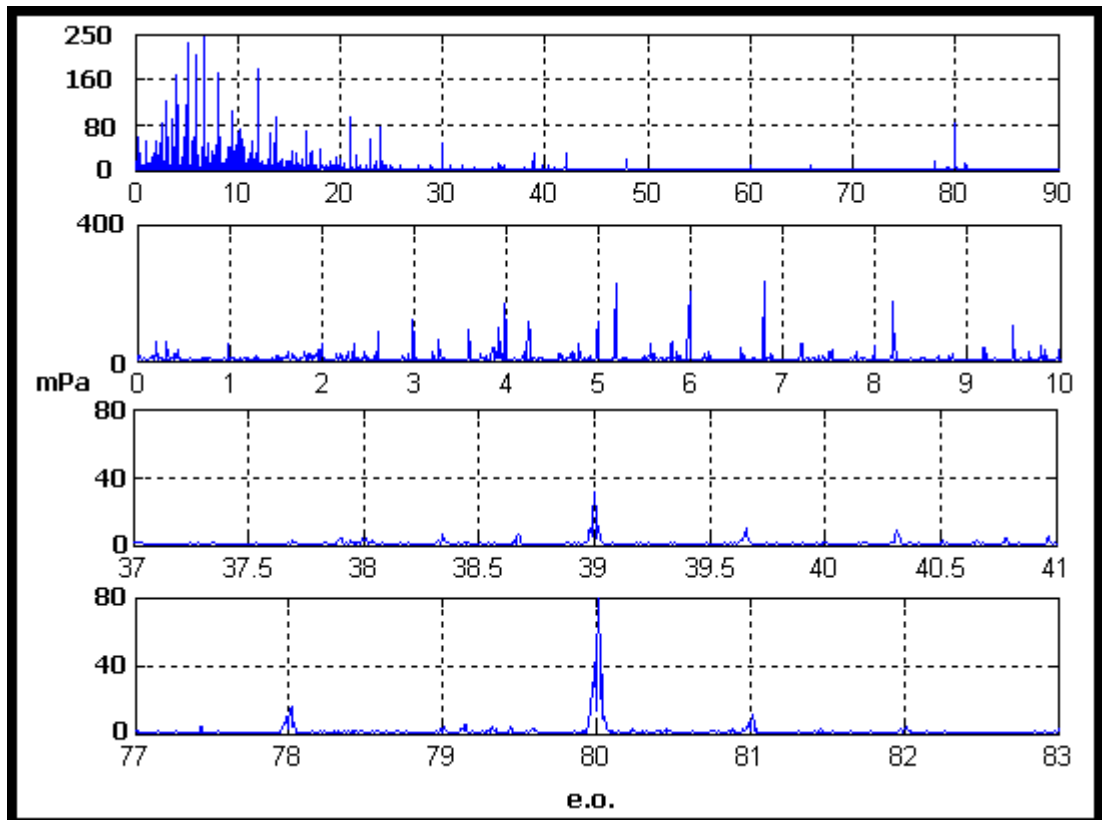


Figura C- 53: 9.000.000 cicli- micr-FFT

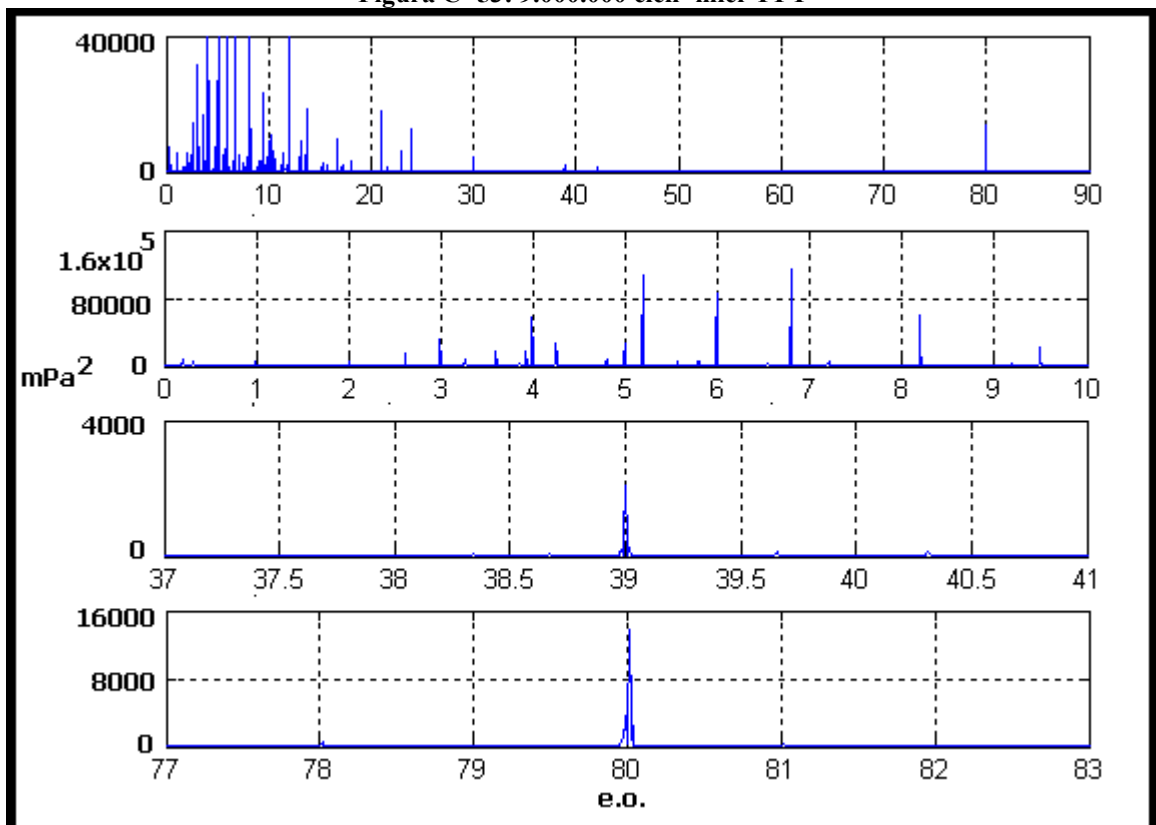


Figura C- 54: 9.000.000 cicli- micr-PSD

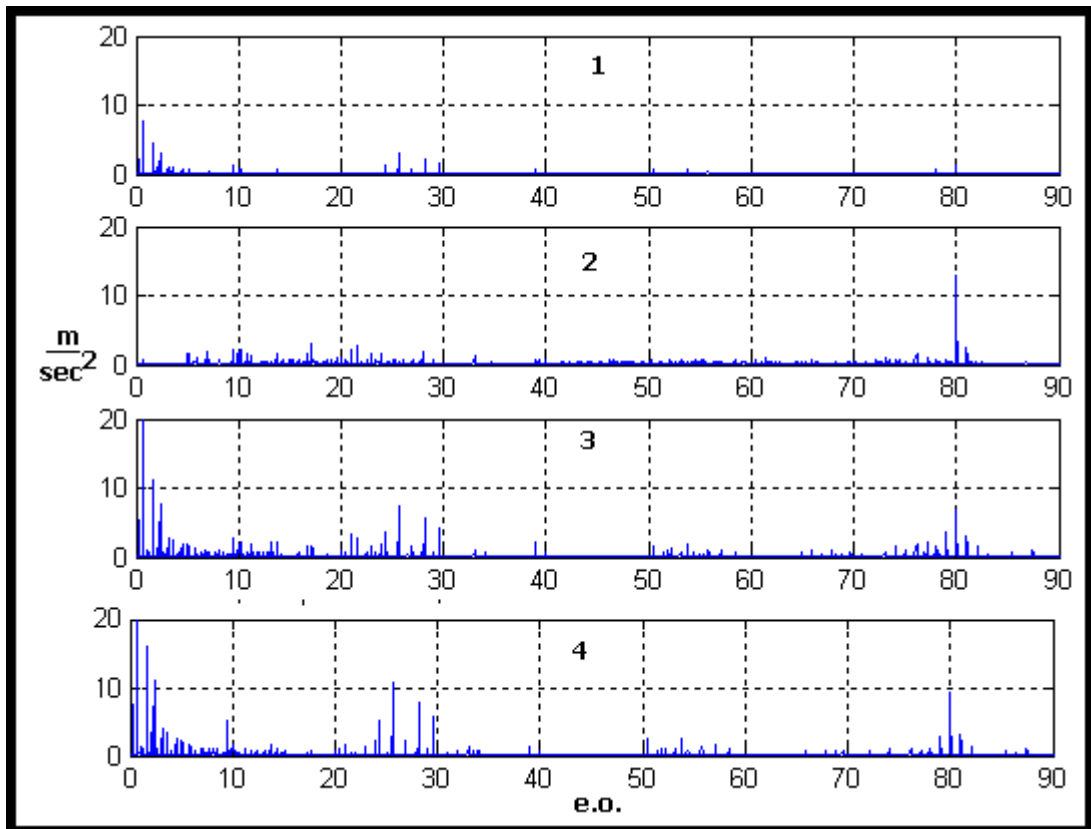


Figura C- 55: 10.000.000 cicli- 0-90-FFT

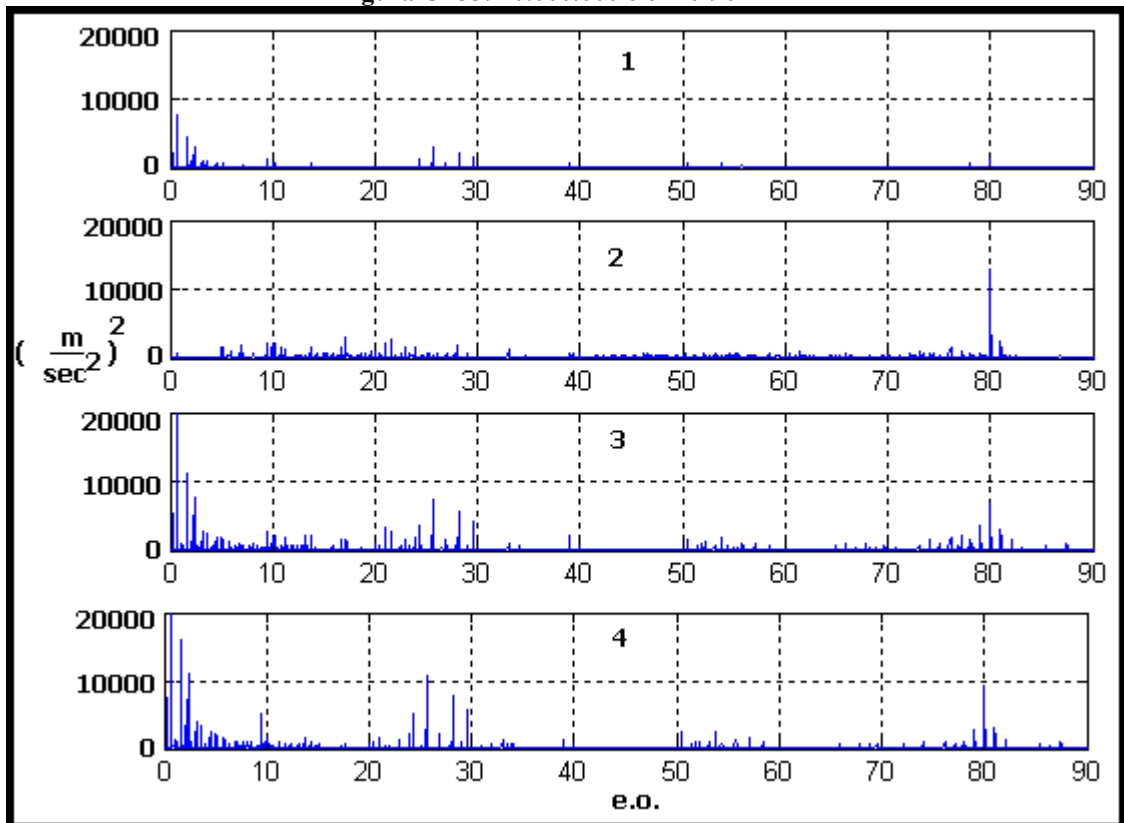


Figura C- 56: 10.000.000 cicli- 0-90-PSD

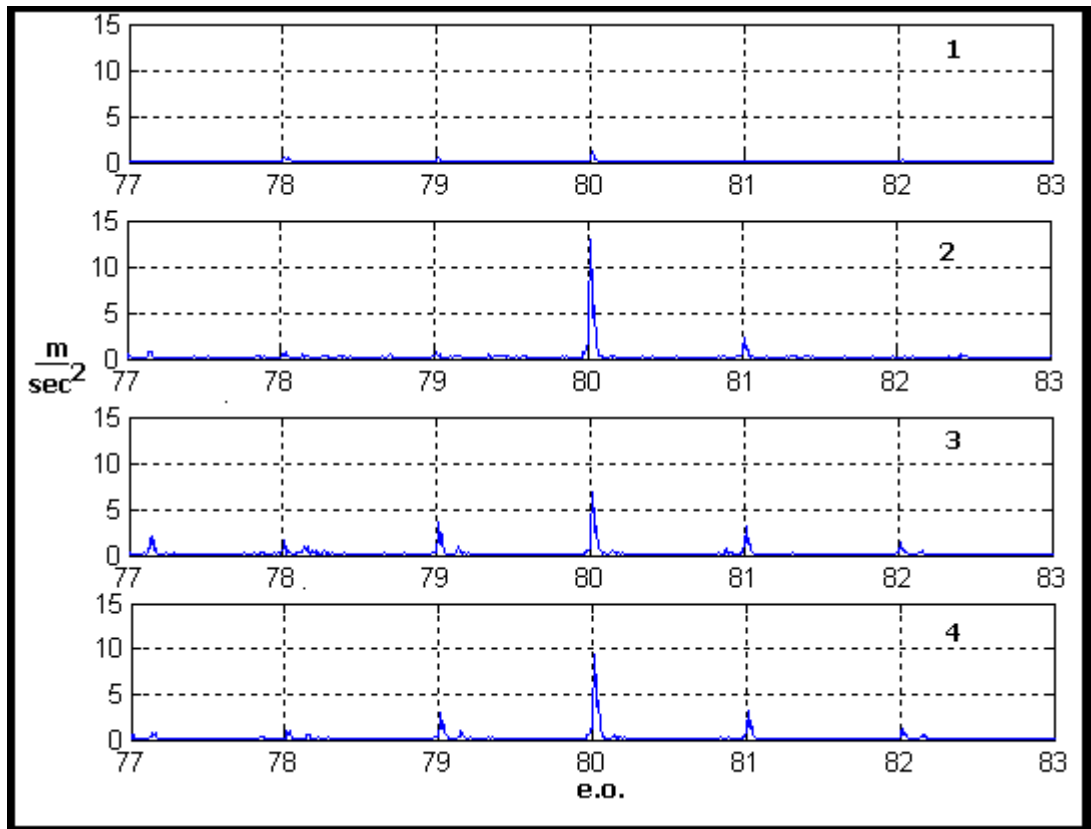


Figura C- 57: 10.000.000 cicli- 77-83-FFT

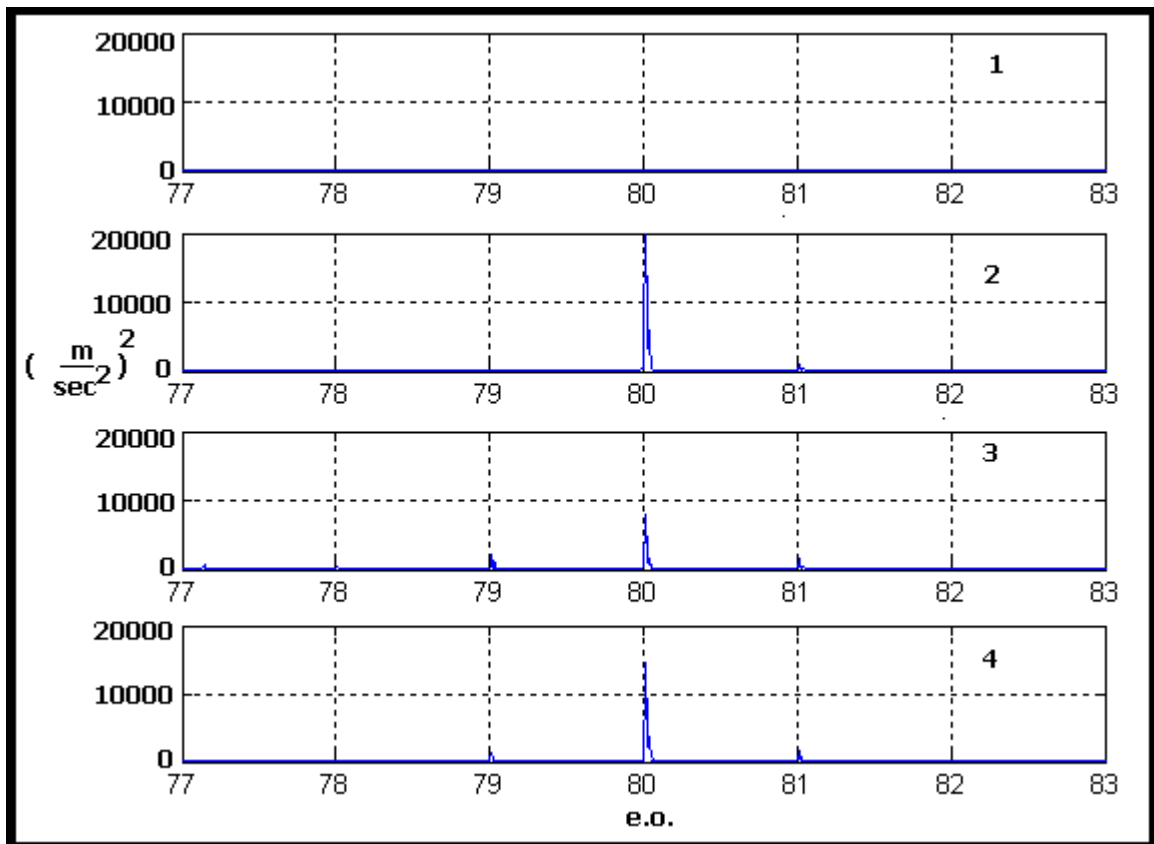


Figura C- 58: 10.000.000 cicli- 77-83-PSD

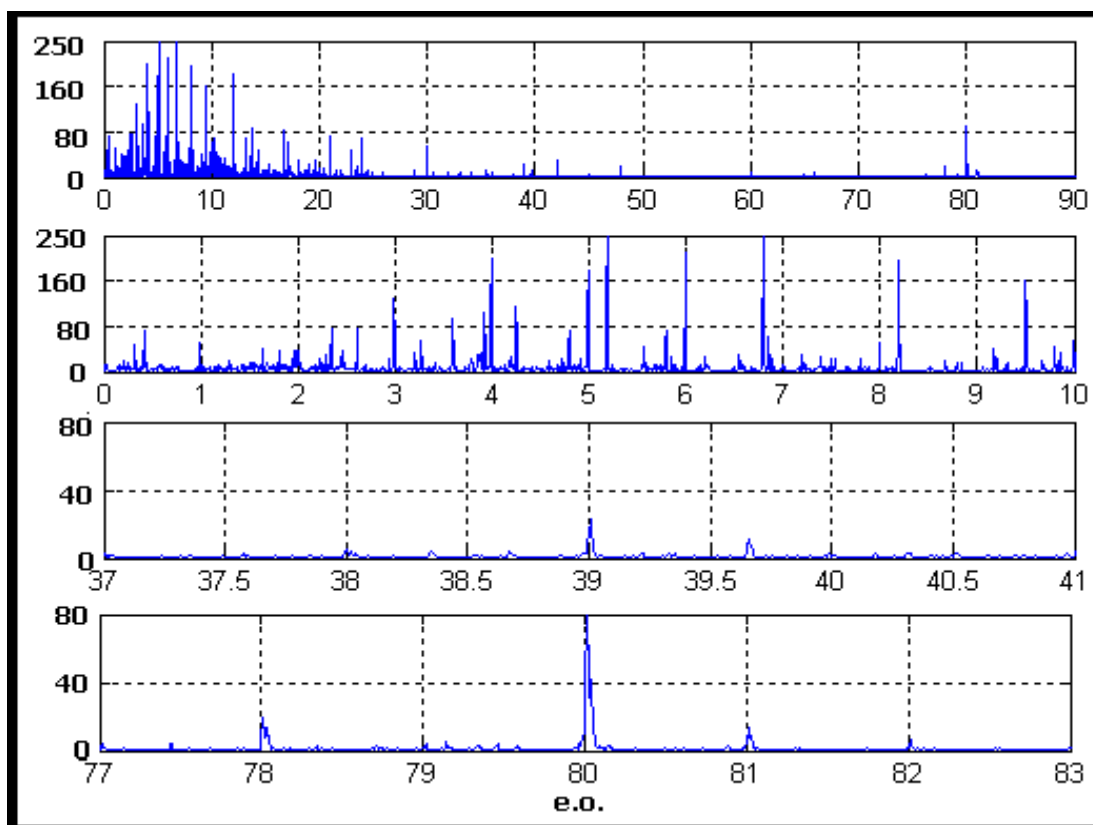


Figura C- 59: 10.000.000 cicli- micr-FFT

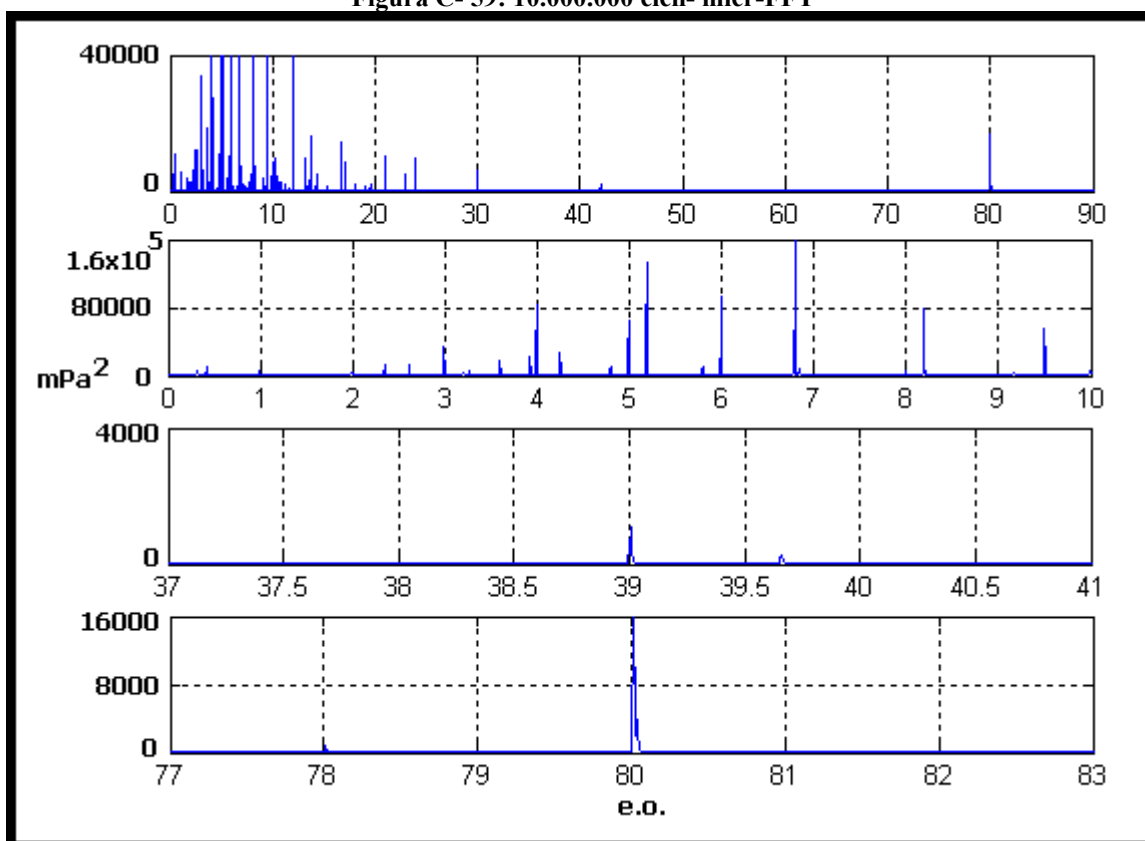


Figura C- 60: 10.000.000 cicli- micr-PSD

Le figure successive si riferiscono all'esame particolareggiato dello spettro relativo alla zona tra 0 e 10 e.o.

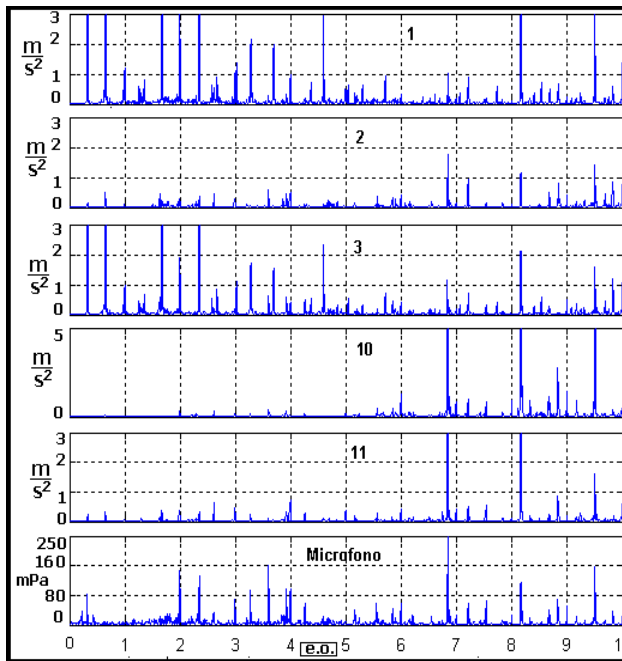


Figura C- 61 420.000 cicli utili

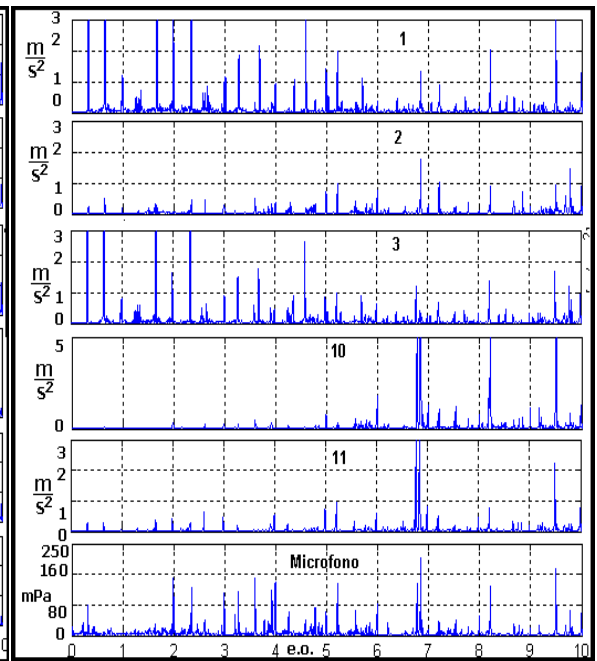


Figura C- 62 2.520.000 cicli utili

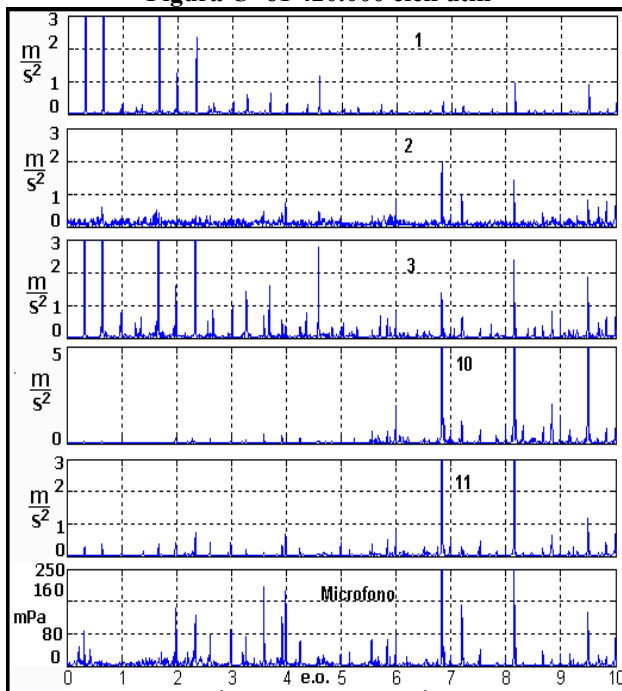


Figura C- 63 3.182.000 cicli utili

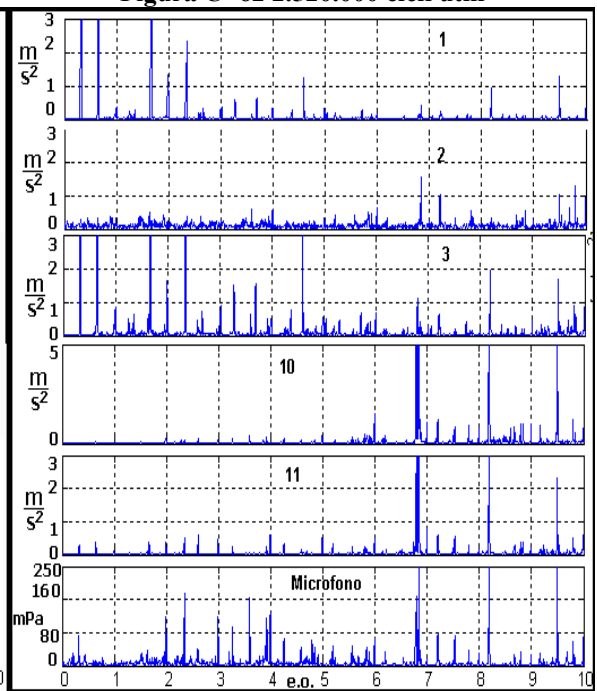


Figura C- 64 3.600.000 cicli utili

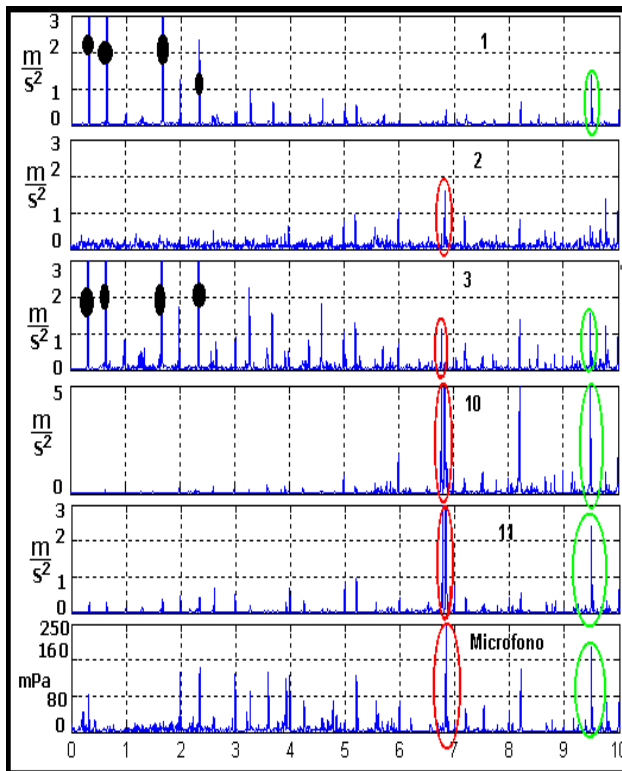


Figura C- 65 4.000.000 cicli utili

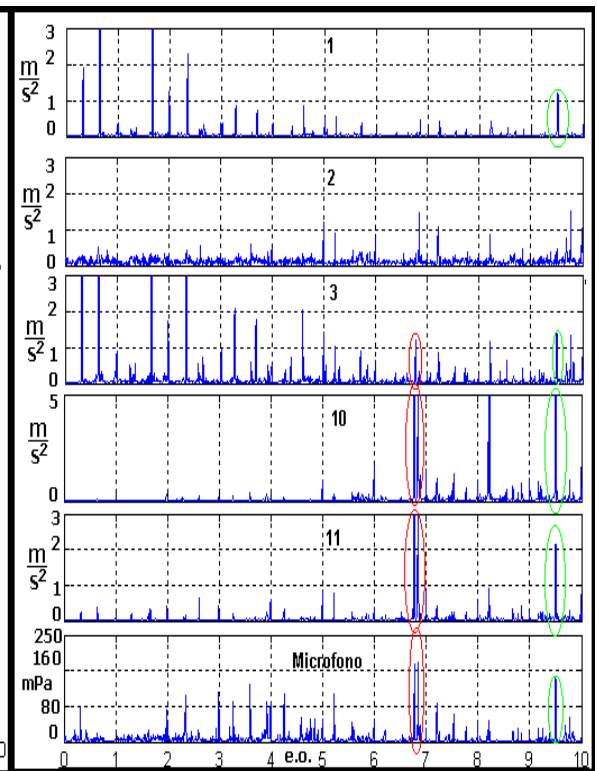


Figura C- 66 4.850.000 cicli utili

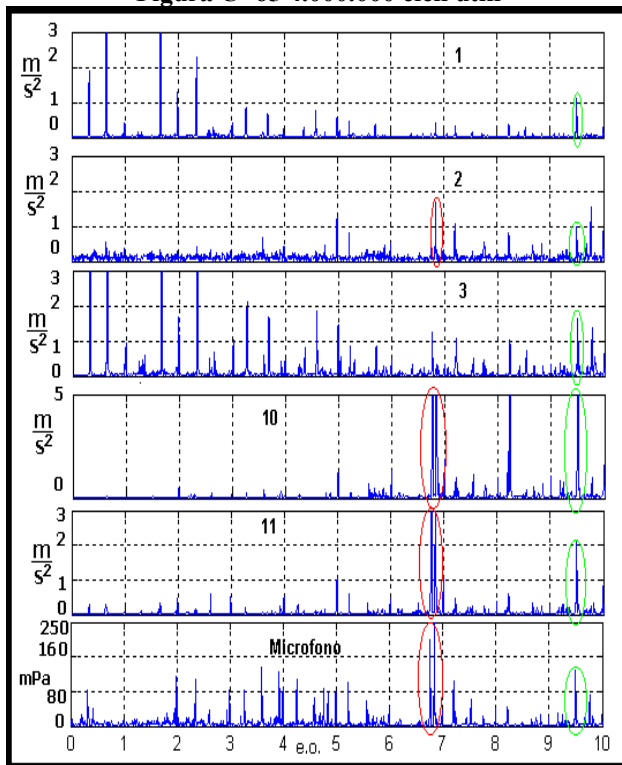


Figura C- 67 5.700.000 cicli utili

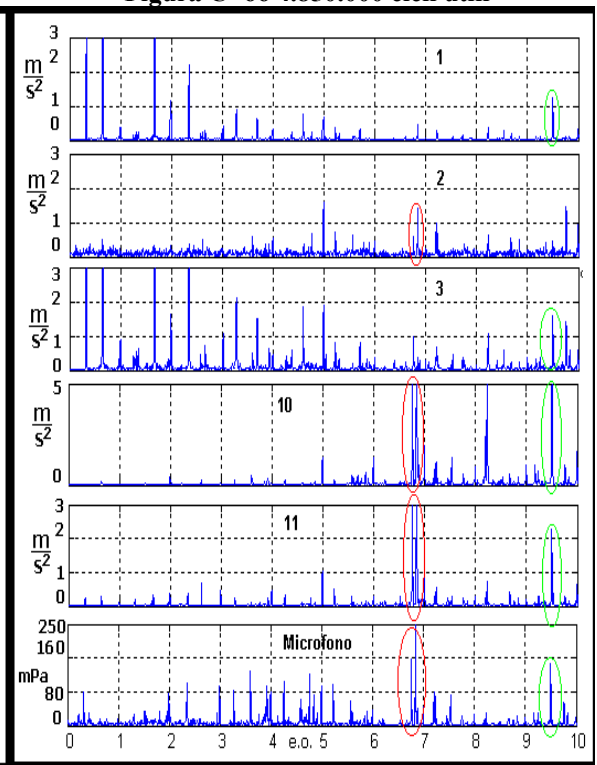


Figura C- 68 6.550.000 cicli utili



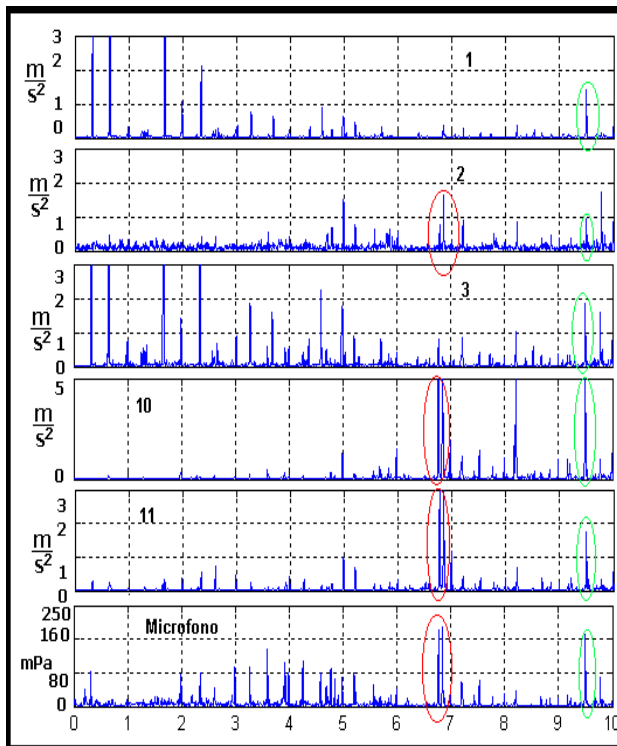


Figura C- 69 7.400.000 cicli utili

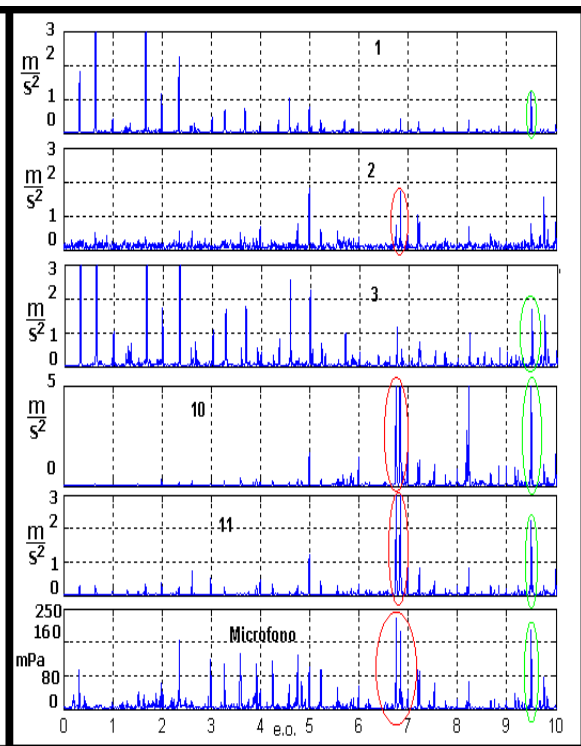


Figura C- 70 8.700.000 cicli utili

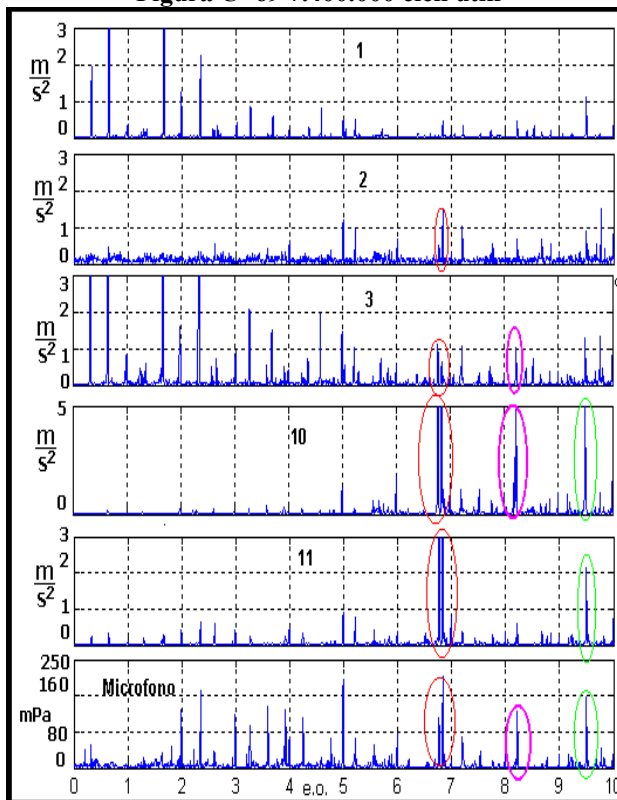


Figura C- 71 9.150.000 cicli utili

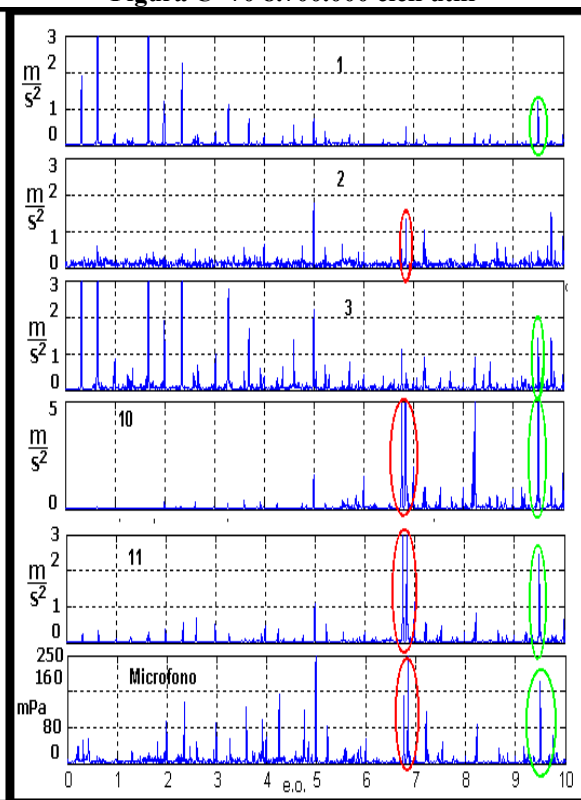


Figura C- 72 10.000.000 cicli utili